



# THE AUTOMAT

® Registered Trade Mark.

## GRUPPE 3

### Kurventriebe

Der Keilschub als Grundlage der kurvengesteuerten, automatischen Maschinen

Das Zeitwegdiagramm als Grundlage für die Konstruktion von Kurvenscheiben

Der zentrische Kurvenschub

Die Kurvenscheiben mit Schwinghebel

Die Glockenkurven

Die Kurventaster und Kurvrollen

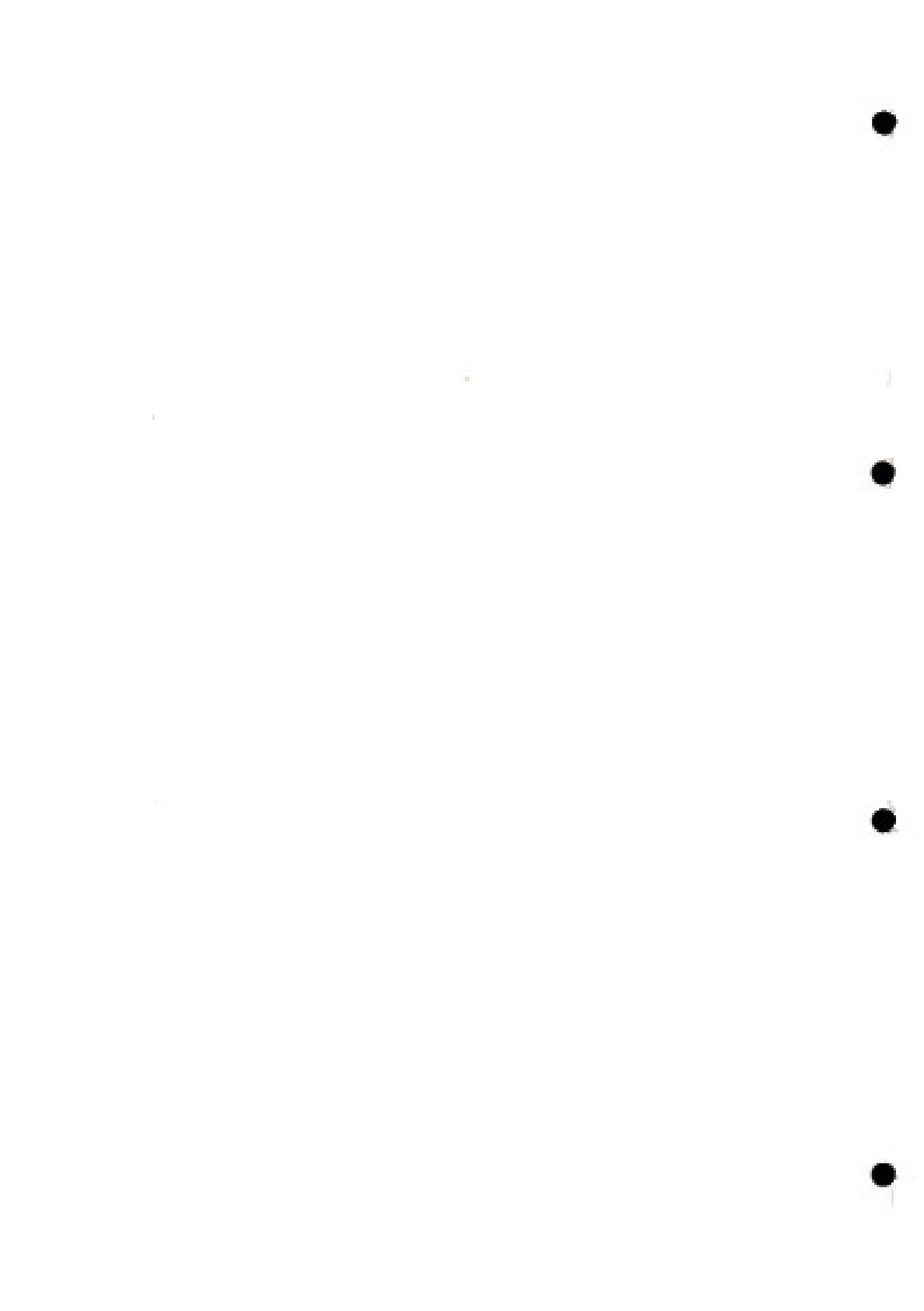
Der Formschluß. Der Kraftschluß

Der Steigungswinkel. Der Übertragungswinkel

Die Bewegungspläne für kurvengesteuerte Maschinen

Die Ausbildung von Kurvenscheiben für Verarbeitungsmaschinen

AUTOMAT PRECISION ENGINEERING LTD  
LIMMATAQUAI 120 ZURICH I SWITZERLAND



### Kurventriebe

Diese Getriebegruppe dient dazu, eine gleichförmige Drehbewegung in eine geradlinige oder schwingende Bewegung mit verschiedenen Geschwindigkeiten und Stillständen umzuwandeln.

Die Kurventriebe können mit Recht als das mechanische Gehirn kurvensteuerter, automatischer Maschinen angesehen werden. Es sind die Kurventriebe, die die Bewegungen der einzelnen Teile der Maschine wie Werkzeugschlitten, Hebel und Greifer steuern und die den Rhythmus dieser Bewegungen — und anderer Hilfsapparate — nach einem zum voraus festgelegten Bewegungsplan bestimmen.

### Die Grundlage der Kurvenscheibe

Die Kurvenscheibe beruht auf nichts anderem als dem Keil. Wir haben hier eine Anwendung des Keiltriebes, wiederum eine kinematische Kette, die einen relativen Zwanglauf ergibt. Um die Funktion des Keiles bei der Entstehung der Kurventriebe richtig zu begreifen, müssen wir uns daran erinnern, wie Holz gespalten wird. Die Schneidkante dringt in das Holz ein. Während die Schneidkante mit jedem Schlag vertikal in das Holz vordringt, treiben die beiden Räcken der Axt das Holz oben auseinander. Fig. 3.1.

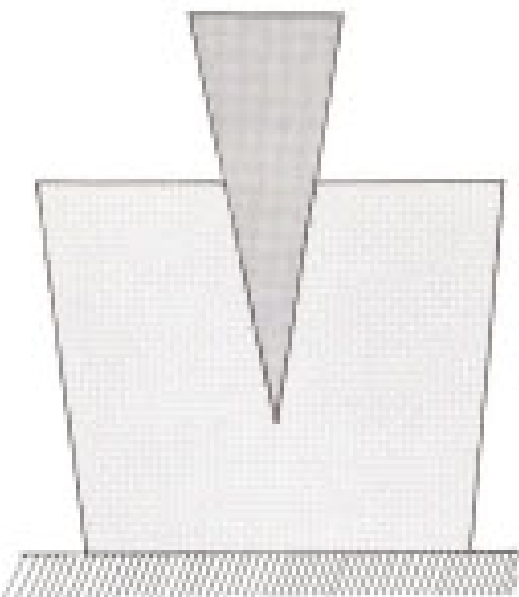


Fig. 3.1

### Wie entsteht der Keil?

Zwei sich schneidende Ebenen, E und E' (Fig. 3.2) teilen den Raum in vier Teile, welche Keile heißen. Man nennt die Schnittlinie AB die Scheitelkante, die beiden Ebenen die Schenkelflächen oder Seiten.

Errichtet man in jeder Seite eines Keils im gleichen Punkt der Scheitelkante eine Senkrechte auf die Scheitelkante, so heißt der von den zwei Senkrechten CD und CF gebildete Winkel DCF der Keilwinkel (Neigungswinkel der beiden Ebenen).

Der Keilwinkel hat ebensoviiele Winkelgrade als der Keil Keilgrade; er ist das Maß des Keiles. Er gibt die Größe der Drehung an, die eine Seite des Keils um die Scheitelkante machen muß, um in die Lage der anderen zu gelangen.

Nach der Größe des Keilwinkels unterscheidet man spitze, rechte und stumpfe Keile, nach der Lage der Keilwinkel Nebenkeile und Scheitelkeile.

Es ist dieser Keil und der Keilwinkel, die bei Kurvenscheiben für die Bewegung der Gliedereines Kurventriebes eine große Rolle spielen. Wir können uns nun sehr leicht vorstellen, daß ein spitzer Keil beim Eindringen in das Holz einem kleineren Widerstand begegnet als ein stumpfer Keil.

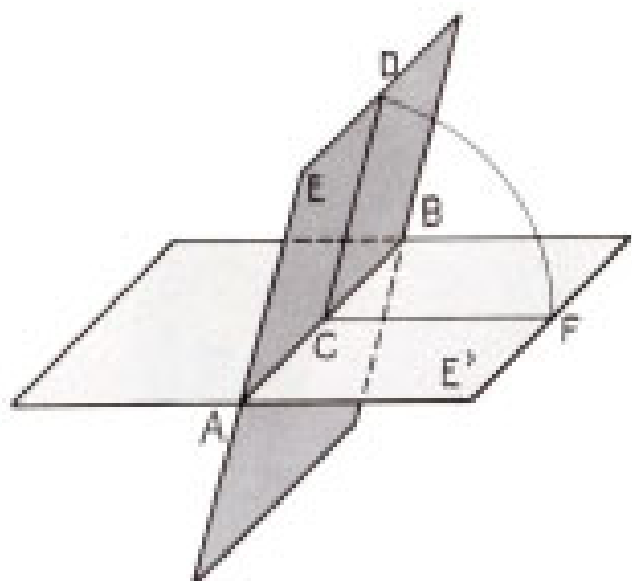


Fig. 3.2

Auf Maschinen angewendet, wird der Keil zur Bewegung der Werkzeugschlitten oder anderer Glieder der Maschine eingesetzt. Da nun Maschinen ihre Bewegungen über eine zum voran bestimmte Wegstrecke und in einer bestimmten Zeitspanne ausführen müssen, bedienen wir uns des Zeit-Weg-Diagrammes.

Das Zeit-Weg-Diagramm ist der Fahrplan für die bewegende Maschine. Für dieses Zeit-Weg-Diagramm bedienen wir uns der Koordinaten. Wie entstehen Koordinaten?

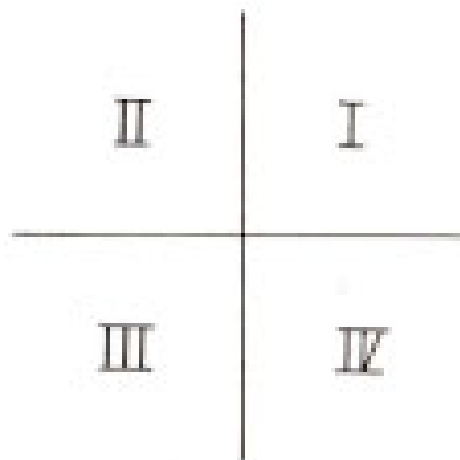


Fig. 3.3

Zwei zueinander senkrechte Gerade teilen die Ebene in vier Quadranten I, II, III, IV, Fig. 3.3. Wir benutzen den ersten dieser Quadranten als Zeichnungsfäche. Die beiden Geraden, die ihn auf zwei Seiten begrenzen, dienen als Achsen, von denen aus Abmessungen gemacht werden. Die Lage eines Punktes A in bezug auf diese Achsen ist dann bestimmt durch seine Entfernung von jeder Achse, Fig. 3.4.

Zieht man nämlich durch den Punkt A Parallelen zu den Achsen, so erhält man ein bestimmtes Rechteck, dessen Länge und Breite jene Entfernungen darstellen. Die nach rechts gehende Achse heißt Abszissenachse, die aufwärts gerichtete heißt Ordinatenachse.

Die Maßzahl der Abmessung auf der Abszissenachse oder parallel zu ihr heißt Abszisse des Punktes und wird gewöhnlich mit x bezeichnet. Die Maßzahl der Abmessung auf der Ordinatenachse oder parallel zu ihr heißt Ordinate des Punktes und wird gewöhnlich mit y bezeichnet.

Abszisse und Ordinate nennt man die Koordinaten des Punktes. Um anzugeben, daß der Punkt A die Abszisse x und die Ordinate y hat, schreibt man: A (x | y).

Es ist dieses Prinzip, das bei der Erstellung eines Zeit-Weg-Diagrammes verwendet wird. Wir verwenden dabei rechtwinklige Koordinaten.

Fig. 3.5. Auf einem Blatt Papier zeichnet man ein Rechteck 120 mm lang und 30 mm hoch, teilt es in zwölf vertikale Felder, sechs horizontale à je 5 mm. Die erste Vertikale links stellt die Ordinatenachse dar, die wir mit O bezeichnen. Die Grundlinie ist die Abszissenachse.

Auf ein Zeit-Weg-Diagramm angewendet stellt die Ordinatenachse den Gesamtweg (s) dar. Die horizontalen Parallelen sind Teilstücke des Gesamtwegs.

Die Abszissenachse vom Punkt O nach rechts stellt die Gesamtzeit (t) dar. Die Vertikalen sind Teile der Gesamtzeit.

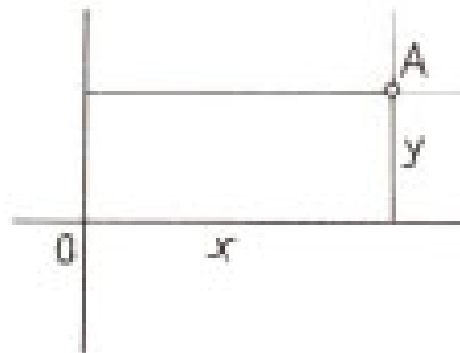


Fig. 3.4

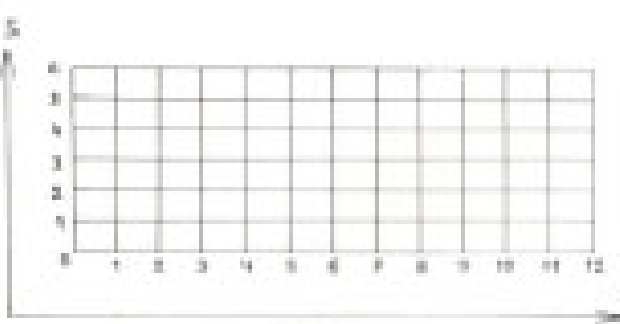


Fig. 3.5

Dieser Rahmen ist die Grundlage für das Zeit-Weg-Diagramm zur Planung einer Bewegung.

Fig. 3.6. Wir beginnen mit der Planung einer einfachen Bewegung, d. h. einer gleichförmigen Hin- und Herbewegung eines Schiebers. Vom Punkt A, dort wo sich Ordinaten- und Abszissenachse treffen (O) ziehen wir eine Gerade bis Punkt B und von dort bis C.

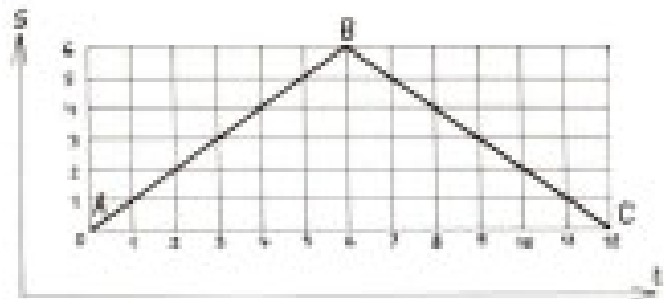


Fig. 3.6

Um diese Bewegung praktisch ausprobieren zu können, übertragen wir das Diagramm auf ein Stück Preßspan, wie auf Fig. 3.7 dargestellt. Die gezeigten Schlüsse dienen für die Befestigung des Preßspanstreifens auf einer Winkelschiene. Die Abstände dieser Schlüsse von Mitte zu Mitte sollen 51,4 mm betragen.

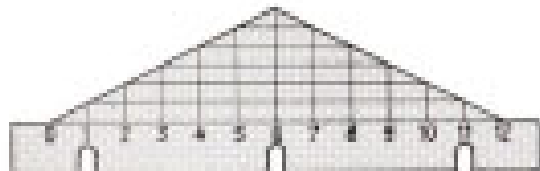


Fig. 3.7

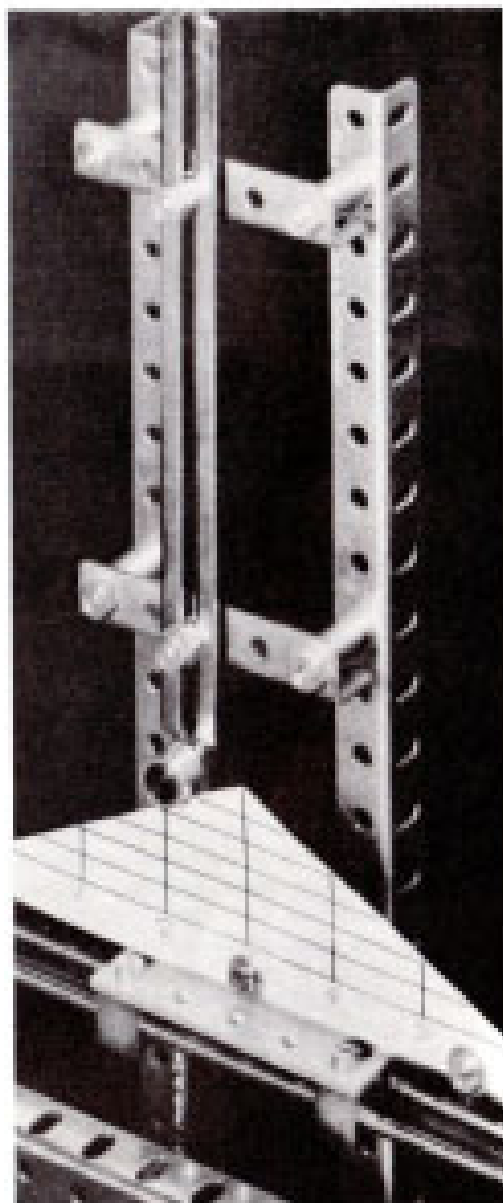


Fig. 3.8

Für die praktische Durchführung des Experiments haben wir zwei Möglichkeiten: Mit Baukasten Nr. 25 bauen wir das Getriebemodell (siehe Fig. 3.8 (und Fig. 3.44) Modell 3.9, das bessere Laufeigenschaften des vertikalen Schiebers aufweist, kann mit Baukasten Nr. 33 und 1300 gebaut werden.

Das doppelte Keilprofil der Zeit-Weg-Diagramme wird auf dem horizontalen Schieber befestigt. Zwecks besseren Laufeigenschaften werden am horizontalen Schieber am besten zwei Teile 35.108 befestigt, anstelle der 35.108. Die Kurvenrolle wird laut Fig. 3.10 montiert.

Zu Beginn des Experiments stellen wir das Keilprofil so ein, daß die Kurvenrolle beim linken Ende, bei Punkt O aufliegt. Schieben wir das Profil nun von rechts nach links, so verschieben wir den vertikalen Schieber, der einen Werkzeugschlitten darstellen soll, um die auf dem Keilprofil angezeigten Wegstrecken. Der Keil schiebt sich unter die Kurvenrolle und schiebt den Werkzeugschlitten nach oben. Wir nennen diese Bewegung den *Hub*- oder *Vorschub*. Sobald die Spitze B des Dreiecks in der Verlängerung der Längsachse des Werkzeugschlittens liegt, ist die Vorschubbewegung beendet. Er hat eine gesamte Wegstrecke von sechs Einheiten à 5 mm = 30 mm zurückgelegt. Bei der Weiterbewegung des Keilprofils in der gleichen Richtung geht der Werkzeugschlitten wieder zurück und erreicht bei Punkt C wieder die Grundlinie der Abszissenachse.

Wiederholen wir das Experiment, so können wir feststellen, daß bei doppelter Geschwindigkeit des Profils genau die gleiche Vorschubbewegung geleistet wird. Wird das Profil mit einer gleichförmigen Bewegung verschoben, so erzielen wir eine gleichförmige Auf- und Abbewegung des Werkzeugschlittens.

Haben wir den Keil von O bis zu seinem höchsten Punkt B innerhalb von zwei Sekunden vorgeschieben und mißt die gesamte Höhe des Dreiecks 30 mm, so haben wir eine Vorschubgeschwindigkeit von

$$v = \frac{s}{t} = v = \frac{30 \text{ mm}}{2 \text{ Sekunden}} = v = 15 \text{ mm/s}$$

Ein weiteres Gesetz kann an Hand dieses Modells auch noch in einer praktischen Anwendung genau verfolgt werden: *Die Bewegung einer Last auf einer schiefen Ebene*. Dem Vorschub des Keils stellt sich ein Widerstand entgegen, der sich einerseits aus dem Gewicht des Werkzeugschlittens und der Kurvenrolle, andererseits aus der Reibung auf den beiden Führungsbolzen im Falle von Modell 3.8 (und der Rollen im Falle von Modell 3.9) zusammensetzt. Die Gesetze über die Bewegung einer Last auf einer schiefen Ebene sollten in diesem Zusammenhang in einem Physikbuch nachgelesen werden.

Die Berührungsstelle zwischen Kurvenrolle und Keilprofil besteht aus einem Punkt, also haben wir hier ein höheres Elementpaar, während die Kurvenrolle selbst ein Drehkörperpaar darstellt.

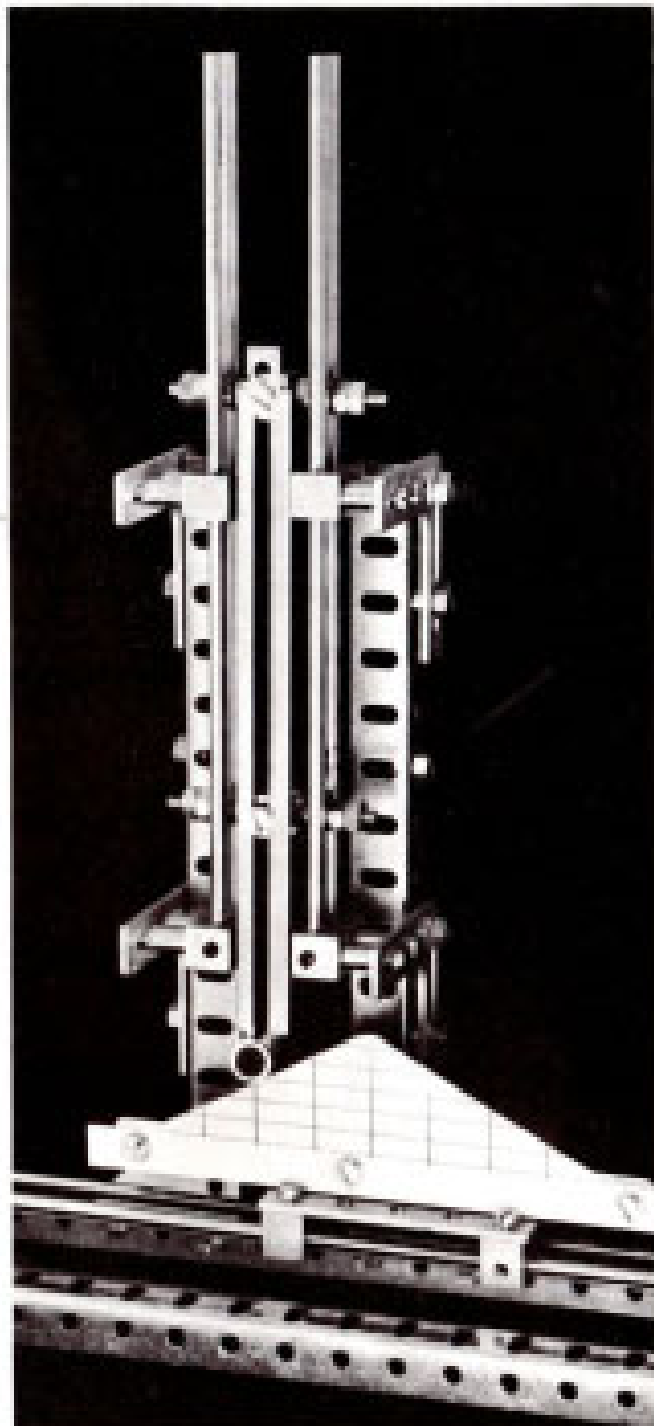


Fig. 3.8

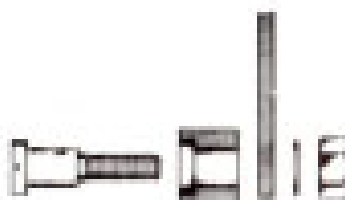


Fig. 3.10

Und hier geben wir bereits ein der Praxis angenähertes Beispiel: Nehmen wir an, daß es sich darum handelt, einen Drehstahl von seiner Ruhestellung in die Arbeitsstellung zu bringen, d. h. das Werkzeug an das Arbeitsstück heranzuführen. Das Werkstück dreht sich gegen das Werkzeug und wird durch eine separate Vorrichtung langsam vorwärts geschoben. Nach dem Drehen wird der Drehstahl wieder zurückgezogen. Die ganze Operation besteht somit aus folgenden Elementen:

- Vorschub des Werkzeuges,
- Drehen (Kontakt mit dem Werkstoff),
- Rückzug des Werkzeuges in die Ruhelage.

Fig. 3.11 zeigt, wie das Material, die zu bearbeitende Stange, vorgeschoben wird.

Wir nehmen an, daß wir für die ganze Operation folgende Zeiteinheiten zur Verfügung haben:

a) Vorschub des Werkzeuges in die Arbeitsstellung . . . . .	= 3 Zeiteinheiten
b) Drehen . . . . .	= 7 Zeiteinheiten
c) Rückzug des Werkzeuges in die Ausgangsstellung . . . . .	= 1 Zeiteinheit
d) Stillstand des Werkzeuges (Ruhelage) . . . . .	= 1 Zeiteinheit
Total = 12 Zeiteinheiten	

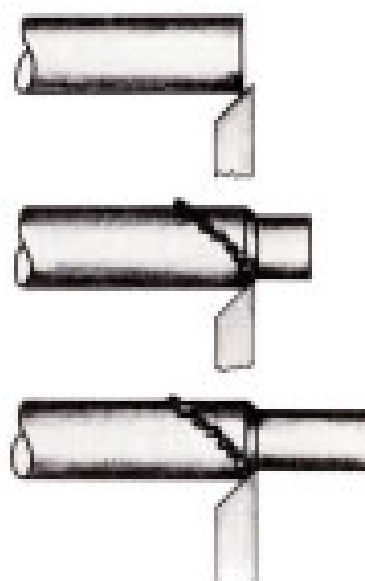


Fig. 3.11

Wir nehmen ferner an, daß für den Vorschub des Werkzeuges von der Ausgangslage in die Arbeitsstellung ein Weg von 15 mm zurückzulegen ist. (In der Praxis wäre dieser Weg wesentlich kürzer, um die Bewegungen bei diesen Versuchen jedoch anschaulicher zu gestalten, wählen wir diesen Weg von 15 mm.) Das Zeit-Weg-Diagramm für diese Arbeit wird in Fig. 3.12 dargestellt.

Von A—B wird das Werkzeug vorgeschoben. Von B—C ist der Drehstahl in Berührung mit dem Werkstoff. Das Werkzeug bleibt in dieser Stellung, während das Werkstück durch den Spindelstock der Maschine langsam vorgeschoben wird und sich gleichzeitig dreht. Beim Punkt C ist die Drehoperation beendet und das Werkzeug wird bis Punkt D rasch zurückgezogen. Dieser Rückzug des Werkzeuges wird durch das Entspannen einer Feder am Werkzeugschlitten bewirkt. Man zeichne nun dieses Zeit-Weg-Diagramm auf ein Stück Preßspan und verfahren gleich wie bei Abbildung 3.7. Es wird auf dem gleichen Schlitten, der vorhin für die gleichförmige Hin- und Her-Bewegung diente, befestigt.

Der Schlitten wird wiederum von rechts nach links geschoben (von rechts nach links deshalb, weil wir ja die Koordinaten links zu numerieren beginnen). Der Schieber mit der Karavelle hebt sich während drei Zeiteinheiten um einen Weg von 15 mm, d. h. um drei Horizontale (Vorschub des Werkzeuges). Obwohl wir nun den Schlitten weiter nach links schieben, bleibt der Schieber während sieben Zeiteinheiten in dieser Stellung (Drehen). In einem einzigen Zeitabschnitt, von 10—11, geht der Schieber wieder in seine Ausgangslage zurück (Rückzug des Werkzeuges) und bleibt dort von 11—12.

So einfach dieses Zeit-Weg-Diagramm auch erscheinen mag, so deutlich führt es doch die Bewegungen eines kleinen Details einer automatischen Maschine vor Augen. Es zeigt die Anwendung des Prinzips des Keils für die Säuerung eines Werkzeuges.

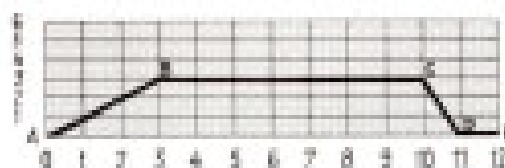


Fig. 3.12

Der nächste wichtige Schritt besteht nun darin, diese Hin- und Her-Bewegungen des Schlittens mit dem Zeit-Weg-Diagramm in eine kontinuierlich rotierende Bewegung umzuwandeln. Zu diesem Zweck werden Kurvenscheiben verwendet. In der Praxis sind dies gubiserne Scheiben; für Lehrzwecke beim AUTOMAT-Baukasten verwenden wir jedoch Scheiben aus Perforat. Gewöhnlicher Karton ist zu weich.

Ausgangspunkt für die Kurvenscheibe ist wiederum das Zeit-Weg-Diagramm. Wir verwenden für diesen ersten Versuch das gleiche Zeit-Weg-Diagramm laut Fig. 3.6, d. h. die gleichförmige Hin- und Her-Bewegung.

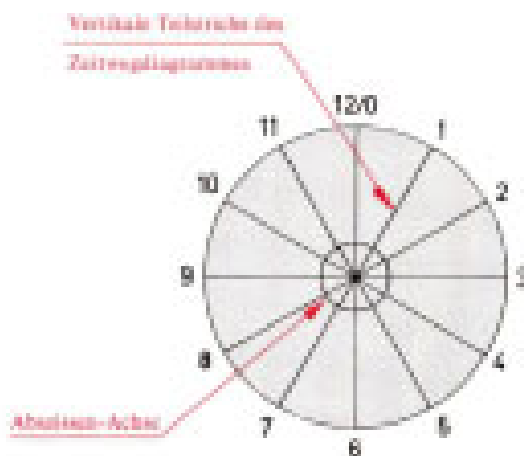


Fig. 3.13

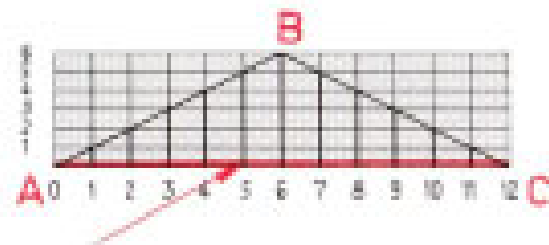


Fig. 3.14

Wir haben in diesem Falle die auf den einzelnen Vertikalen des Zeit-Weg-Diagramms eingezeichneten Wegstrecken auf Polarkoordinaten einer Kurvenscheibe zu übertragen. Auf einem Blatt Papier zieht man einen Kreis mit einem Durchmesser von 80 mm, teilt ihn in zwölf gleiche Abschnitte à je  $30^\circ$ , Fig. 3.13. Diese Polarkoordinaten entsprechen den Vertikalen auf dem Zeit-Weg-Diagramm. Darauf zieht man einen konzentrischen zweiten Kreis mit einem Durchmesser von 20 mm. Dieser kleinere Kreis stellt die Abscissenachse des Zeit-Weg-Diagrammes dar. Die einzelnen Abschnitte werden am Kreisumfang von 0–12 nummeriert. Man nimmt nun ein Stück Papier und überträgt die Wegdistanzen des Zeit-Weg-Diagrammes laut Fig. 3.14. Diese Distanzen, dick ausgezogen, werden auf die Polarkoordinaten des Kreises übertragen und mit einem Punkt markiert. Fig. 3.15.

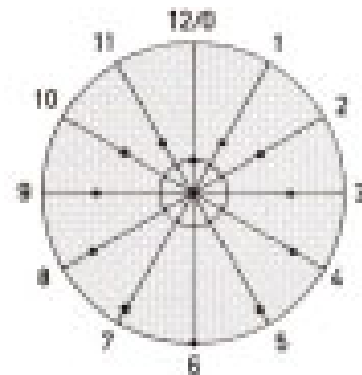


Fig. 3.15

Als nächster Schritt kommt die Verbindung der einzelnen Punkte, wodurch das Profil der Kurvenscheibe ersichtlich wird. Auf die Ausbildung der Spirale wird man besondere Sorgfalt verwenden. Die Figur, die entstanden ist, stellt zwei gegenübergestellte archimedische Spiralen dar. Fig. 3.16 ist somit die Kurvenscheibe für eine gleichförmige Hin- und Her-Bewegung laut Zeit-Weg-Diagramm Fig. 3.6.

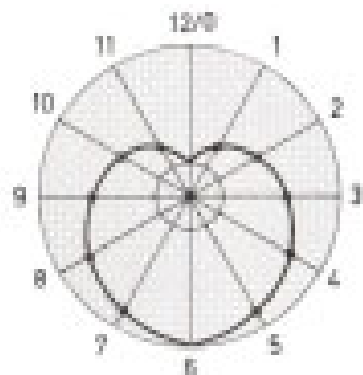
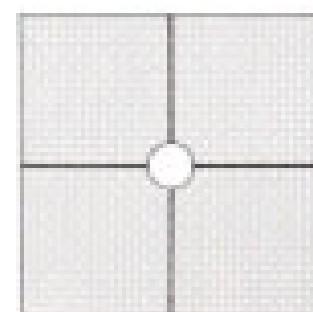


Fig. 3.16

E

Man nimmt nun eine Preßspanscheibe und zeichnet das Kreuz laut Fig. 3.17, indem man die quadratische Scheibe in vier gleiche Flächen teilt. Diese Linien dienen als Richtlinien für die Übertragung des Kurvenprofils auf dem Blatt Papier auf die Kartenscheibe. Dieses Kurvenprofil wird laut Fig. 3.18 ausgeschnitten, auf den Preßspan-Karton gelegt, mittels der vertikalen und horizontalen Linien ausgerichtet, und zwar so, daß die Horizontale 9—3 mit GH und die Vertikale 12,0—6 mit EF übereinstimmen.



G

H

Fig. 3.17

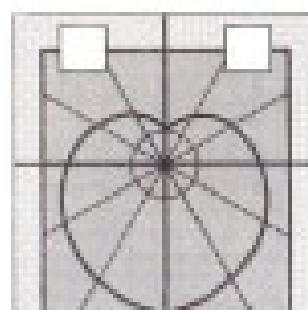


Fig. 3.18

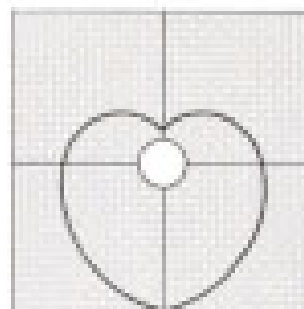


Fig. 3.19

Die Zeichnung des Kurvenprofils wird auf die Preßspanscheibe durchgepaust. Fig. 3.19.

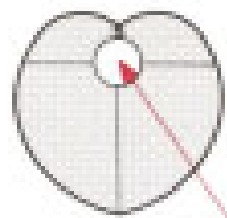


Fig. 3.20

Aufbau

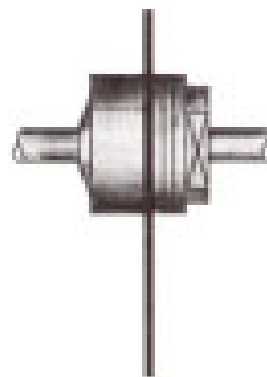


Fig. 3.21

Die Kurve wird sorgfältig aus dem Profilprofil ausgeschnitten. Jede Unregelmäßigkeit auf dem Kurvenprofil wird nachher auf die Kurvenrolle und auf den Schieber übertragen. Die ausgeschnittene Kurvenscheibe wird wie ein Rad auf der Welle befestigt, wobei man jedoch noch zwei Zwischenscheiben 31.900 verwendet. Fig. 3.21.

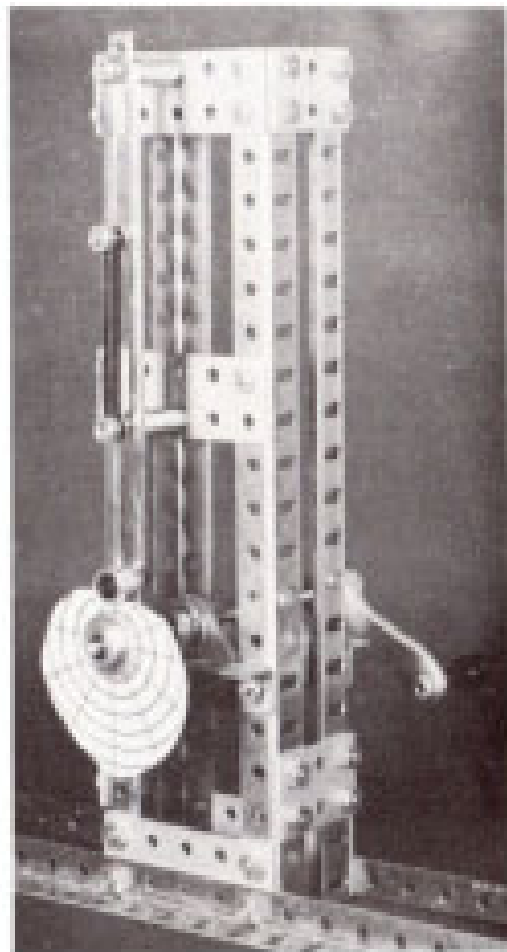


Fig. 3.22

Durch die Verwendung von Kurvenscheiben kann somit die gleiche Bewegung unendlich wiederholt werden. Mit einer Drehung der Handkurbel wird innerhalb eines bestimmten Zeitintervales ein bestimmter Weg des Schiebers zurückgelegt und dieses Gesetz bildet die Grundlage sämtlicher kurvengesteuerten, automatischer Maschinen.

Das gleiche Verfahren wird nun angewendet für die Übertragung des Zeit-Weg-Diagrammes laut Fig. 3.12. Während drei Zwölftel (d. h. eines Viertels) der ganzen Umdrehung der Kurvenscheibe wird der Schieber emporgehoben (das Werkzeug geht in die Arbeitsstellung vor). Während sieben Zwölftel einer Umdrehung verbleibt das Werkzeug an der gleichen Stelle, während die Kurvenscheibe sich weiter dreht. (Wir sehen beim genauen Betrachten des Modells, daß der Schieber nicht absolut ruhig steht, sondern jeder, auch der kleinsten Ungenauigkeit des Kurvenprofils folgt.) Bei Koordinate 10 des Zeit-Weg-Diagrammes geht das Werkzeug (d. h. der Schieber) in die Ausgangsstellung zurück und ruht während der letzten Eishalfte von einem Zwölftel Umdrehung oder  $30^\circ$  des Kreisumfangs. Fig. 3.24.

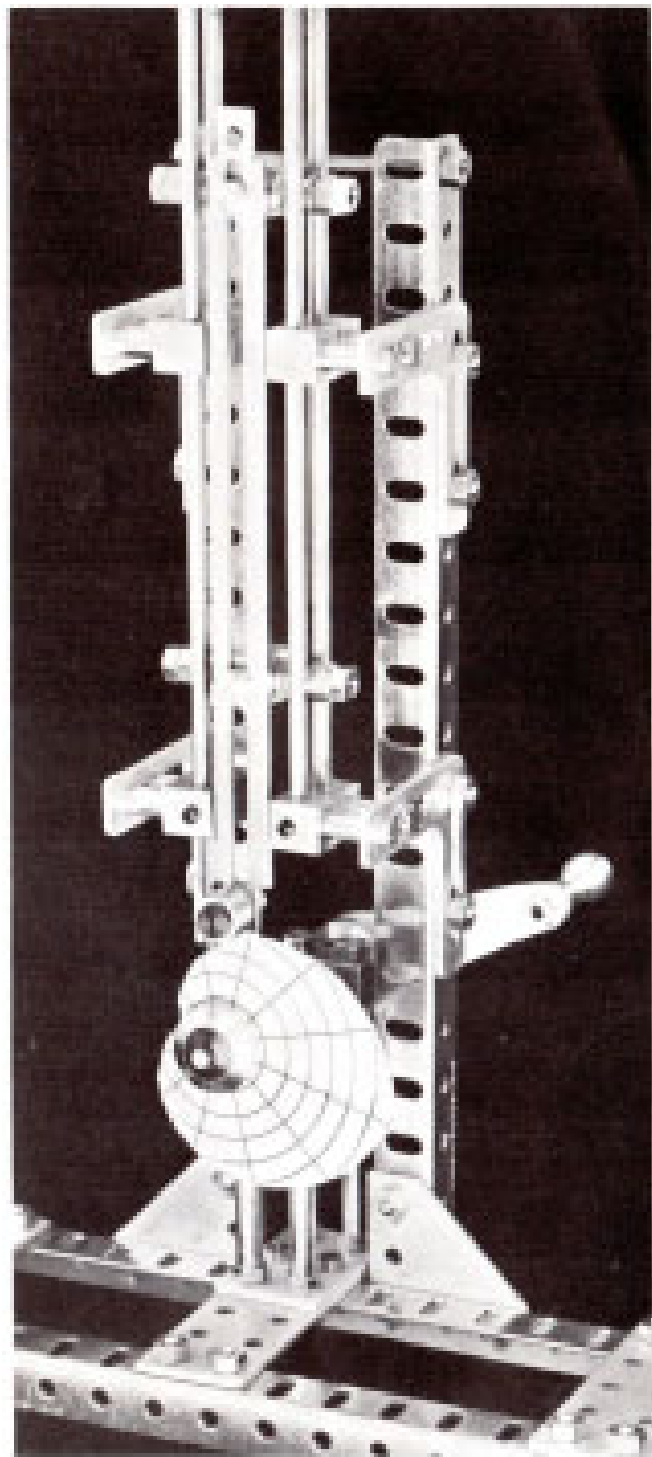


Fig. 3.23

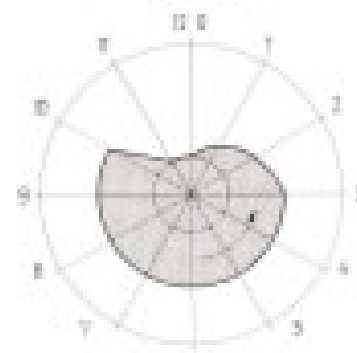


Fig. 3.24

## Kurvenscheiben für Schwinghebel

Bis jetzt behandelten wir ausschließlich Kurvenscheiben für zentrischen Kurvenschieb, bei welchem die Achse des Schiebers mit der Mitte der Kurvenscheibe übereinstimmt. In den weitaus meisten Fällen aber werden Kurvenscheiben mit Schwinghebeln verwendet. Die Verwendung von Hebeln erlaubt die Übertragung größerer Kräfte, eine geringere Abstützung der Kurvenscheiben und ermöglicht auch größere Genauigkeit am Arbeitsende des Hebeln, was insbesondere bei Drehwerkzeugen von großer Wichtigkeit ist. Ein Hebel ist ein fester Körper, welcher sich kreisförmig um einen festen Punkt, den Drehpunkt, bewegt. Fig. 3.25.

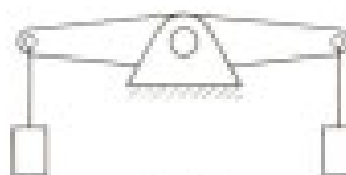


Fig. 3.25

Die Verwendung von Hebeln im Zusammenhang mit Kurvenscheiben ändert die Grundgesetze der Kurvenscheiben in keiner Weise. Auch diese Kurvenscheiben unterliegen der Wirkung des Kreises. Die Konstruktion, der Entwurf dieser Kurvenscheiben erfährt jedoch eine kleine Änderung. Um diesen Unterschied verständlich zu machen, müssen wir uns daran erinnern, daß bei den bisher entworfenen Kurvenscheiben die Wege auf den geraden Koordinaten des Zeit-Weg-Diagrammes direkt auf die Radien der Kurvenscheibe übertragen werden.

Da man bei den Kurvenscheiben mit Schwinghebeln diese Hebel einen Kreisbogen beschreiben, so müssen die Distanzen des Zeit-Weg-Diagrammes, die den Hub oder Vorschub darstellen, nicht auf eine Gerade, sondern ebenfalls auf einen Kreisbogen übertragen werden. Die Überlegung ist einfach.

In Fig. 3.26 sehen wir eine Gerade und einen Kreisbogen. Die Gerade ist die kürzeste Verbindung zwischen den beiden Punkten A und B. Der Kreisbogen, der diese beiden Punkte ebenfalls verbindet, ist länger als die Gerade.



Fig. 3.26

Die Grundlage für das Entwerfen von Zeit-Weg-Diagrammen und Kurvenscheiben sind am besten aus folgenden Bildern ersichtlich:

Fig. 3.27. Man erstelle wiederum zuerst den Rahmen des Zeit-Weg-Diagrammes, 120 mm lang, 30 mm hoch. Angenommen, der Schwinghebel gehe durch die Mitte des Zeit-Weg-Diagrammes, das für die Vorführung der Gesetze verwendet wird, zeichnet man auf der halben Höhe des Zeit-Weg-Diagrammes eine horizontale Linie.



Fig. 3.27

Fig. 3.28. Angenommen, man verwende einen Schwinghebel von 75 mm Länge, legt man den Drehpunkt dieses Hebeln auf der Mittellinie fest. Von diesem Punkt aus markiert man in Abständen von 10 mm die zwölf Punkte, die die Drehpunkte für die Schwinghebel, oder die Endpunkte für die Kreisbögen darstellen.

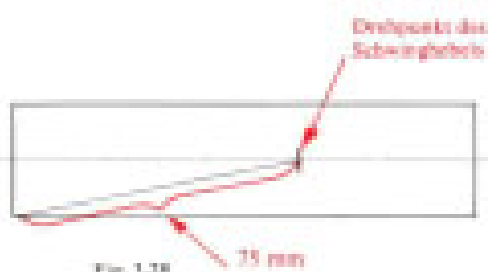


Fig. 3.28

Fig. 3.29. Von diesen zwölf Punkten aus zieht man die Kreisbögen im Rahmen des Zeit-Weg-Diagrammes.

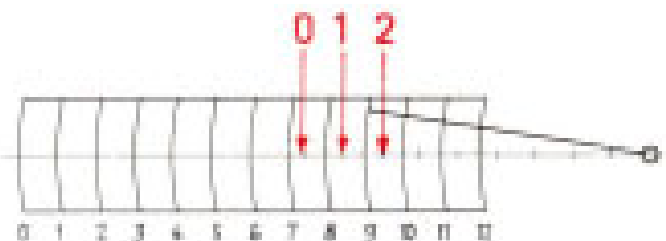


Fig. 3.29

Fig. 3.30. Wie beim Dreieck des Zeit-Weg-Diagrammes für zentrischen Kurvenschub erstellt man nun das Dreieck ABC, und vergleicht dieses Bild mit Fig. 3.6, für zentrischen Kurvenschub. Der Schwinghebel beschreibt bei jedem Zeitintervall einen Kreisbogen.

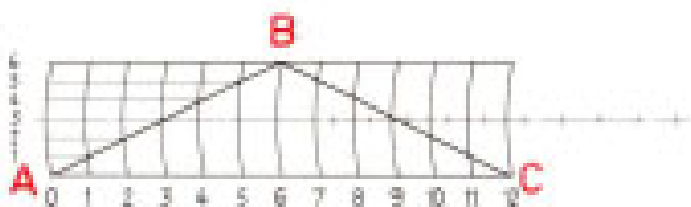


Fig. 3.30

Dieses Zeit-Weg-Diagramm wird nun wie Fig. 3.7 auf eine Karten-(Prellspan-)Scheibe übertragen und hat Fig. 3.31 zum Versuchsmodell zusammengebastelt.

Der praktische Versuch zeigt sofort die Bewegungsverhältnisse dieses Schwinghebels. Genauso gleich wie beim Zeit-Weg-Diagramm für zentrischen Kurvenschub hebt sich beim Verschieben des Schlittens nach links die Kurvenrolle um einen bestimmten Weg innerhalb einer bestimmten Zeiteinheit. Wir haben auf der Welle, die an einem Ende des Schwinghebels trägt, am anderen Ende einen Hebel von 30 mm befestigt. Was kann dabei festgestellt werden:

Wir finden, daß der gleichlange Hebel wie der Schwinghebel die Bewegungen des Schwinghebels genau wieder gibt, während der kürzere entsprechend kleinere Schwingungen ausführt. Die Gesetze sind sehr einfach:

Fig. 3.32. Wir wissen aus der Geometrie, daß sich die Kreisbögen proportional zu den Hebellingen verhalten. Der Kreisbogen AB ist größer als CD. Wird aus ein solcher Hebel zur Umformung der schwingenden Bewegung in eine geradlinige Bewegung eingesetzt oder verwendet, so verhalten sich die Wege wie die Sehnen AB zu CD.

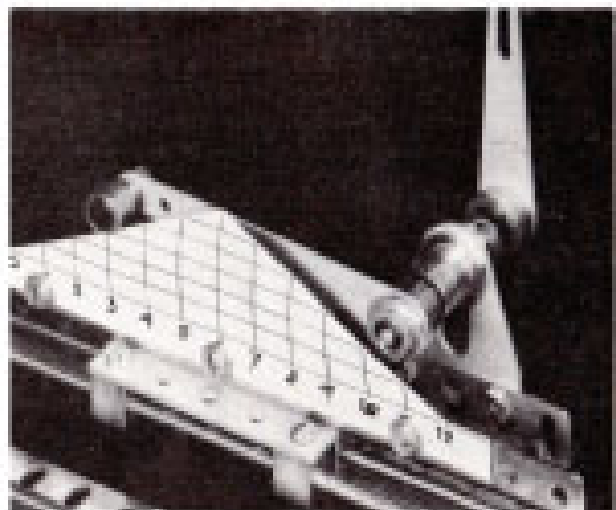


Fig. 3.31

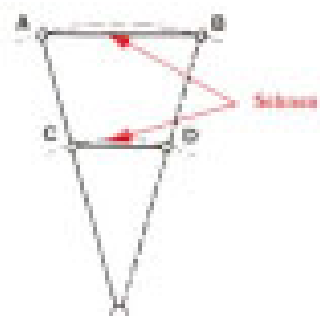


Fig. 3.32

Um dieses Zeit-Weg-Diagramm auf eine Kurvenscheibe zu übertragen, müssen wir wiederum die Länge des Schwinghebels berücksichtigen.

Fig. 3.33. Man zeichnet drei konzentrische Kreise: Einen kleinen Kreis, den Grundkreis, der die Abszissenachse des Zeit-Weg-Diagramms darstellt, mit einem Durchmesser von 20 mm. Dieser Grundkreis kann beliebig gewählt werden, er beeinflusst aber den Durchmesser der anderen zwei Kreise. Für unsere Zwecke der Modellversuche wählen wir durchwegs einen Grundkreis von 20 mm, den Kreis der Kurvenscheibe, Durchmesser 80 mm, und den Hilfskreis, der der Länge des Schwinghebels von 75 mm entspricht. Der Hilfskreis wird in zwölf Teile à  $30^\circ$  eingeteilt.

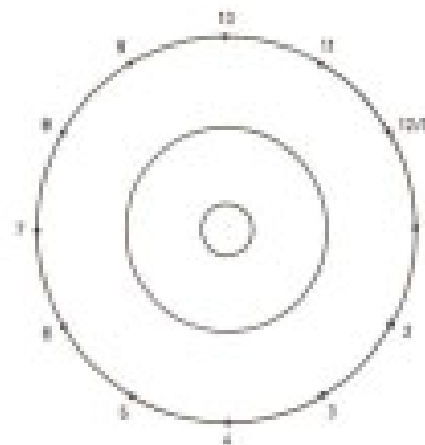


Fig. 3.33

Fig. 3.34 zeigt, wie sich dieser Hobel auf der Kurvenscheibe bewegen wird und dient dazu, den Zweck dieses Hilfskreises zu erkennen. Mit einer Zirkelöffnung von 75 mm, die der Länge des Schwinghebels entspricht, wird der Kreisbogen gebildet.

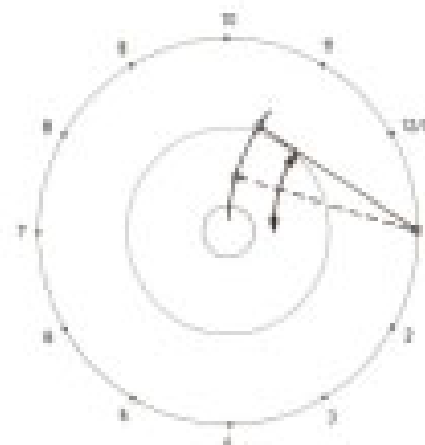


Fig. 3.34

Fig. 3.35 zeigt, wie die Kreisbogen, die der Schwinghebel beschreibt, auf die Kurvenscheibe übertragen werden.

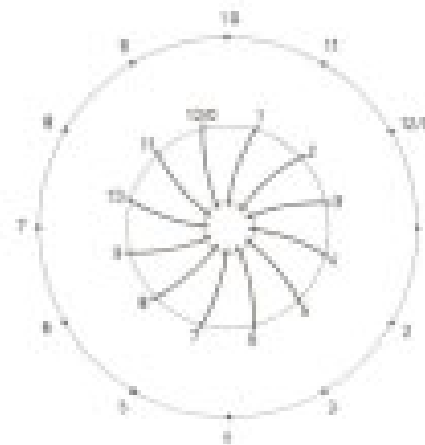


Fig. 3.35

Fig. 3.36 zeigt das Hilfsmittel, einen Kreissektor, der zur Übertragung der Distanzen des Zeit-Weg-Diagrammes auf die Kurvenscheibe dienen wird. Er hat eine Länge von 75 mm, die der Länge des Schwinghebels entspricht; der Kreisbogen soll etwa 25 mm messen.

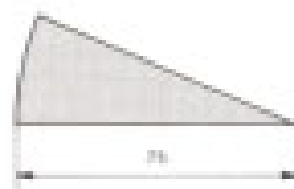


Fig. 3.36

Fig. 3.37. Die Längen des Kreisbogens zwischen der Abszissenachse und den Seiten des Dreiecks auf dem Zeit-Weg-Diagramm werden nun auf die Kurvenscheibe übertragen. Man legt dabei die Spitze des Hilfsgerätes auf den Punkt des Hilfskreises, die linke Kante auf den Schnittpunkt des Grundkreises und des Kreisbogens der Kurvenscheibe. Fig. 3.38.



Fig. 3.37

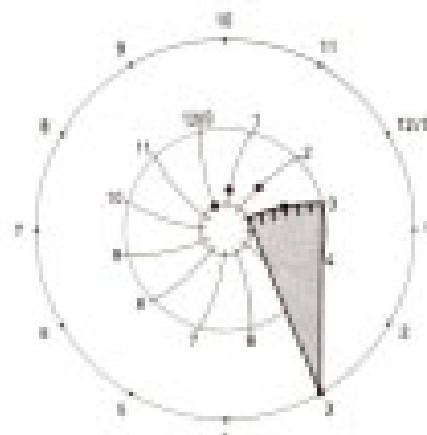


Fig. 3.38

Fig. 3.39. Die einzelnen Punkte werden miteinander verbunden und wir erhalten, dabei das Profil der Kurvenscheibe für die Verwendung mit Schwinghebel von 75 mm Länge. Diese Kurvenscheibe in dieser Form kann nur mit einem Schwinghebel von 75 mm Länge verwendet werden. Wir stellen sofort fest, daß die äußere Form dieser Kurvenscheibe von derjenigen für zentrischen Kurvenschub etwas verschieden ist. Warum? Man betrachte die Stellung der Kreisbögen im Vergleich zu den Radien der Kurvenscheiben für zentrischen Kurvenschub und findet die Erklärung.

Die Kurvenscheibe wird, wie bereits schon bei der ersten Kurvenscheibe für zentrischen Kurvenschub erklärt, auf die Preßplatte übertragen, ausgeschnitten, mit einer Nabe versehen und auf der Kurvenwelle befestigt. Fig. 3.40.

Wie wir aus Fig. 3.32 ersehen konnten, verhalten sich die Sektoren zu den Kreisbögen wie die Kreisbögen zu den Hebellängen. In der Praxis wirkt sich das so aus, daß ein Fehler in der Kurvenscheibe beim gleichen Hebelverhältnis genau übertragen wird, während er beim ungleicharmigen Hebel proportional zur Hebellänge kleiner — oder größer wird.

Fig. 3.40 zeigt das Versuchsmodell mit der aufmontierten Kurvenscheibe laut Fig. 3.39.

Als erste Aufgabe versuche man, das Zeit-Weg-Diagramm laut Fig. 3.12 für die Steuerung eines Werkzeuges in eine Kurvenscheibe für Schwinghebel umzuwandeln, wobei man vorläufig annimmt, daß das Hebelverhältnis 1:1 betrage und ebenfalls ein Schwinghebel von 75 mm Länge verwendet werde. Als Grundkreis für die Abszissenachse verwenden man einen solchen von 30 mm Durchmesser.

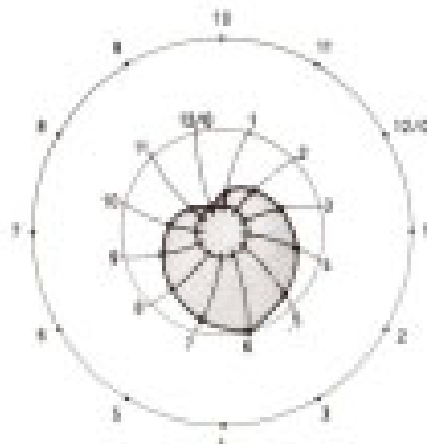


Fig. 3.39

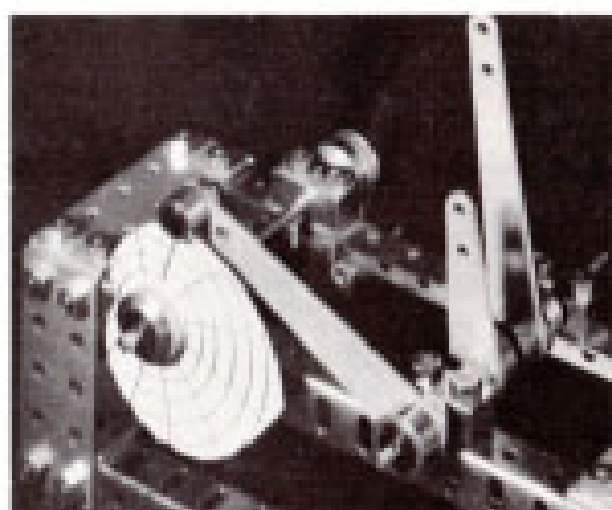


Fig. 3.40

Fig. 3.41 zeigt den Entwurf einer Kurvenscheibe für einen Schraubensäulenautomaten (Tomas AG, Moutier, Schweiz). Bei diesem Beispiel wurde der Gesamtumfang in  $360^\circ$  eingeteilt.  $360^\circ$  entsprechen einer ganzen Umdrehung der Kurvenscheibe = Gesamtzeit für eine Operation. Innerhalb dieser Gesamtzeit muss die Kurvenscheibe verschiedene Bewegungen des gleichen Maschinenmechanismus steuern. So finden wir z. B. bei der Stelle 209 den Beginn einer gleichförmigen Vorschubbewegung von insgesamt 16,5 mm, die bis zum Punkt 258 dauert, also über  $49^\circ$  des gesamten Umfangs. Von Punkt 258 bis 272, also während  $14^\circ$ , erfolgt ein Stillstand, gekennzeichnet durch den konzentrischen Kreisbogen. Über  $7^\circ$ , von 272—279, erfolgt nochmals ein kurzer Vorschub von insgesamt 7 mm.

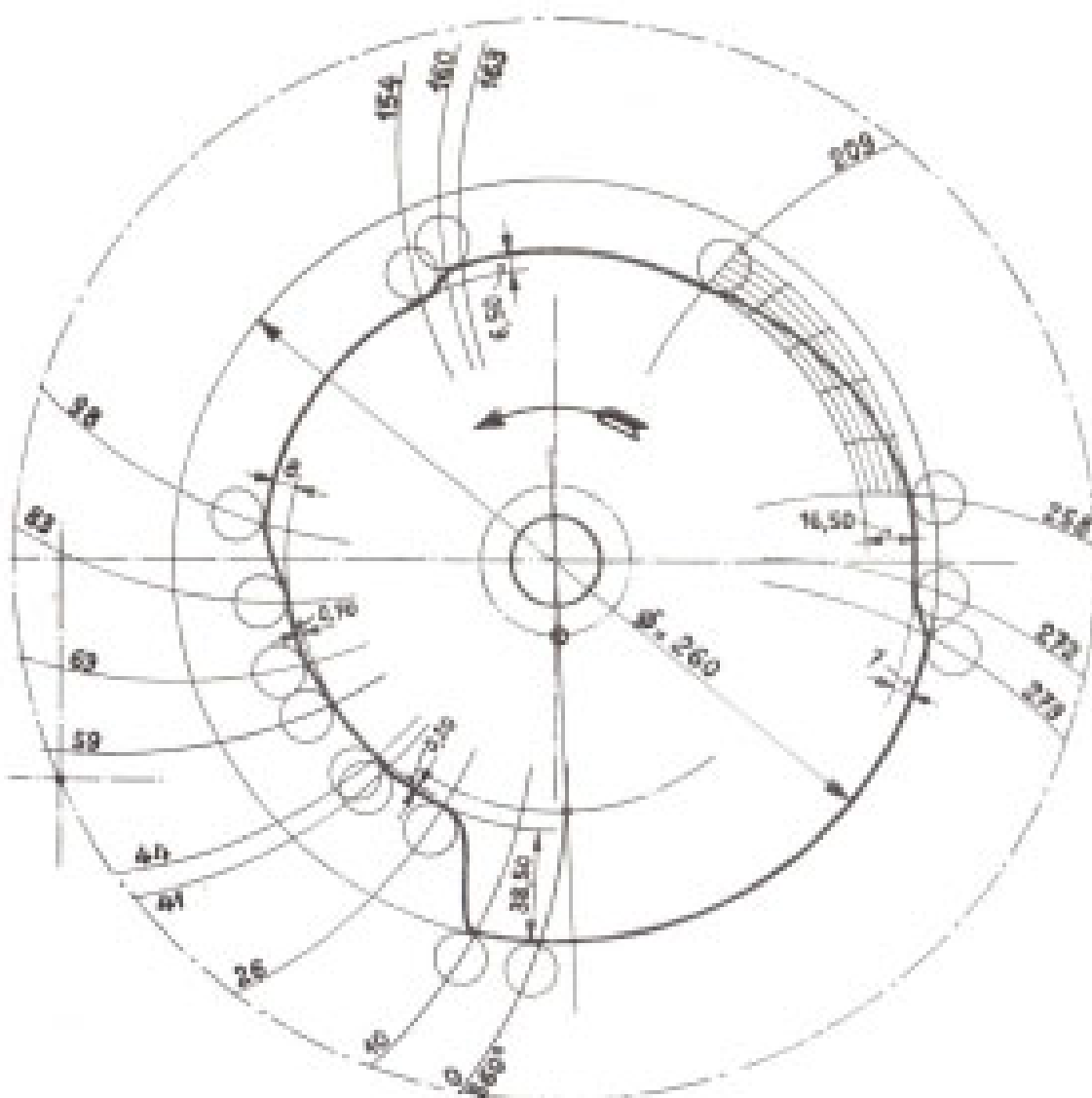


Fig. 3.41

Fig. 3.41, Bilder a—e, zeigen die verschiedenen Etappen bei der Herstellung der Kurvenscheiben von Drehautomaten: a), nachdem auf dem Arbeitsplan die zeitlichen Abläufe der einzelnen Bewegungen festgelegt wurden, die die Gesamtzeit in die Dauer der einzelnen Bewegungen unterteilen (dargestellt durch die verschieden langen Kreisbögen am Umfang der Kurvenscheibe) werden die kreisbogenförmigen Trennlinien in die Kurvenscheibe eingeritzt. Der Radius dieser Kreisbögen entspricht dem Schwinghebel des Drehautomaten, der für diese Kurvenscheibe verwendet wird, genau wie auf unserem Versuchsmodell Fig. 3.40 dargestellt. Der mit O bezeichnete Kreisbogen kennzeichnet den Anfang der Operationen und entspricht jenem Punkt des Zeit-Weg-Diagrammes, wo sich Ordinaten- und Abszissenachse schneiden.

Die auf den Kreisbögen eingezeichneten Punkte entsprechen einzelnen Vorschubbewegungen (siehe Fig. 3.38), die wie auf Fig. 3.39 zum Kurvenprofil verbunden werden.

- a) Diesem Profil entlang werden Löcher gebohrt und
- b) der Innere Teil mit einem Hammer abgeschlagen.
- c) zeigt das auf Spezialmaschinen fertig bearbeitete Kurvenprofil.

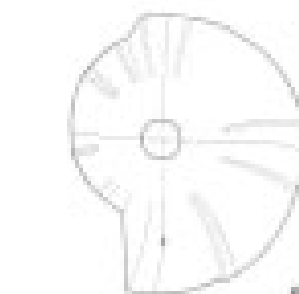
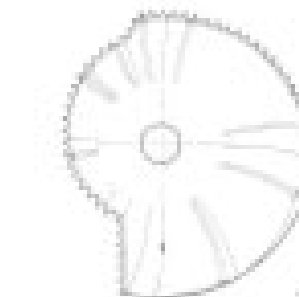
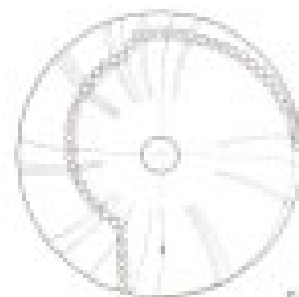
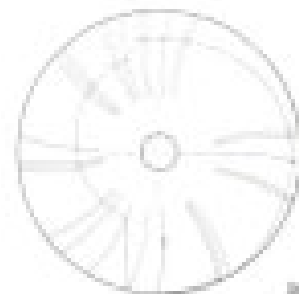
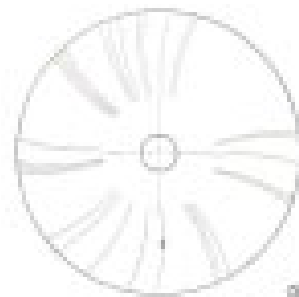


Fig. 343. Dieses Diagramm einer automatischen Mischerei, der Yares Einpendel-Kreiselpumpe von der Firma Tarex AG, Genf, zeigt sehr deutlich die Auswirkung von Kurvengetrieben zur automatischen Steuerung von Bewegungen. Die Kurventriebzähle sind rot angezeichnet. Der Motor mit konstanter Drehzahl treibt über Unterstellungsgetriebe die Kurvenscheiben an. Eine Kurvenscheibe

steuert die Bewegungen des Revolverkopfes, der die Operationen föhren, Anziehen, Anspannen und Greifenscheide ausübt. Andere Kurven kontrollieren die Bewegungen der Kupplungen zur Steuerung der Schnittgeschwindigkeit und des Drehmomentes der Spindel, wieder andere Kurven steuern den Materialflusschub. Sämtliche Bewegungen werden im Bezugungspunkt zusammengefaßt.

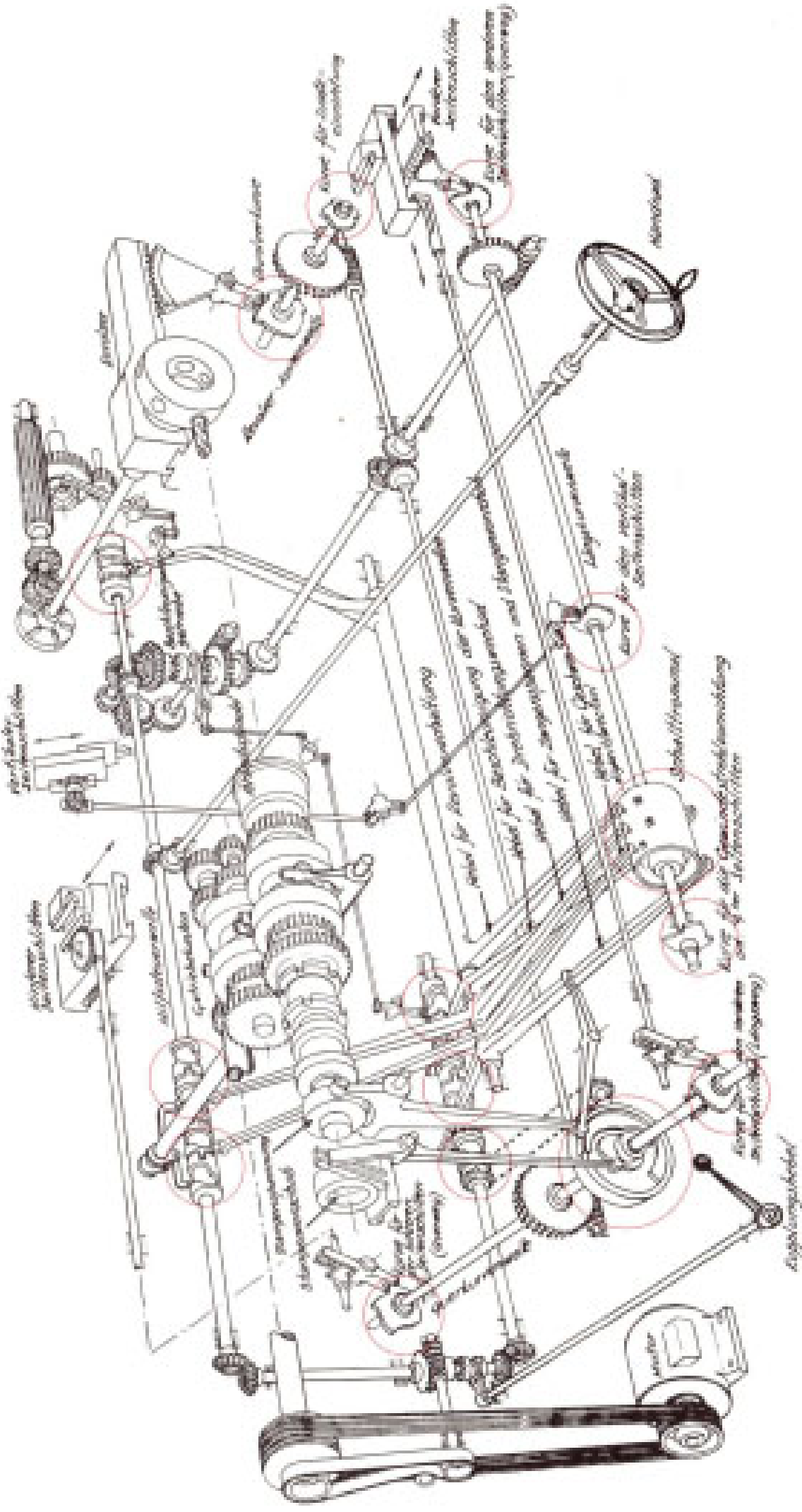


Fig. 3.44 zeigt das ganze Getriebemodell laut Fig. 3.8.  
Fig. 3.45 zeigt das ganze Getriebemodell laut Fig. 3.31.

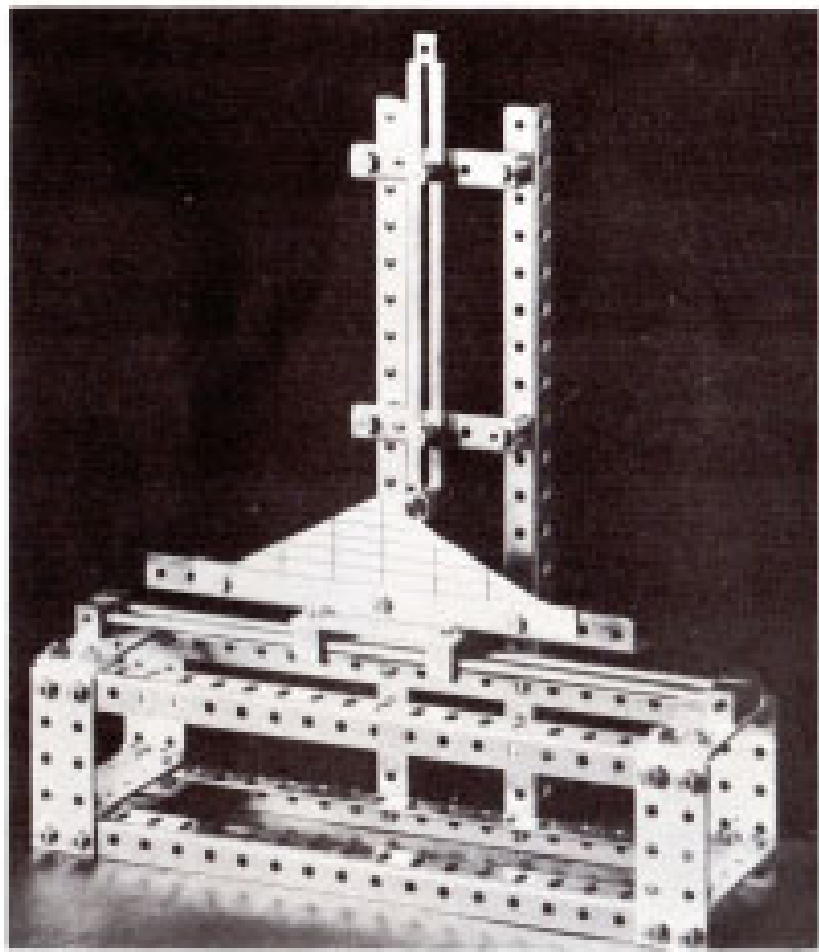


Fig. 3.44

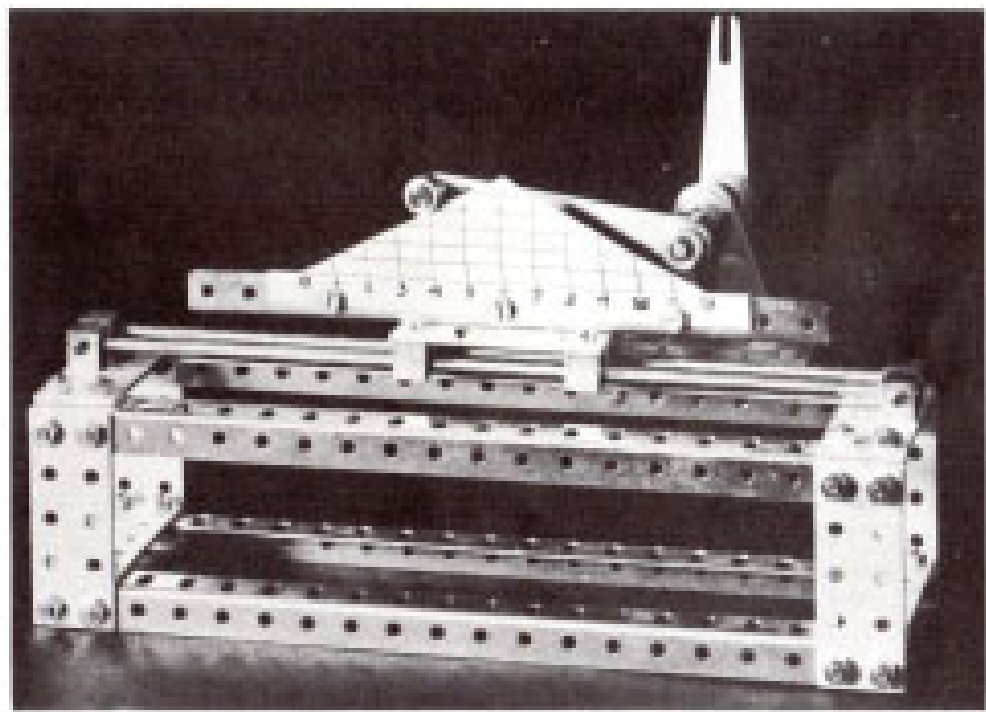


Fig. 3.45

## Glockenkurven

Bis jetzt behandeln wir Kurvenschreiben, die der Gruppe der ebenen Kurvengetriebe angehören. Bei automatischen Maschinen werden jedoch sehr oft auch Glockenkurven verwendet, die der Gruppe der räumlichen Kurvengetriebe angehören. Ohne hier allzu sehr auf Einzelheiten einzugehen, die der Techniker in seinem Berufe von selbst erfasst wird, ist darauf hinzuweisen, daß die Wahl zwischen Glocken- oder Scheibenkurven von den Arbeits- und Bewegungsverhältnissen der Maschine abhängt.

In der Praxis bestehen Glockenkurven aus einem zylindrischen Hohlkörper, der einer Tasse oder Glocke gleicht. Fig. 3.46. Da die Bearbeitung und das Fräsen einer solchen Glockenkurve wesentlich mehr Zeit beansprucht und schwieriger ist, werden nach Möglichkeit Getriebe konstruiert, die die gleichen Bewegungsgesetze mittels Scheibenkurven ergeben. In einzelnen Fällen und je nach der Art der Maschine können bestimmte Bewegungen nur mittels Glockenkurven gesteuert werden.

Beim AUTOMAT-Birkasten haben wir aus keiner Möglichkeit, Glockenkurven wie in der Praxis herzustellen und behelfen uns dadurch, daß wir das Kurvenprofil aus steifem Karton oder Blech ausschneiden und um einen besonders kontraierten Kurvenkörper wickeln.

Die Gesetze der Glockenkurven sind leicht verständlich, weil das Kurvenprofil genau dem Zeit-Weg-Diagramm entspricht. Die Koordinaten des Zeit-Weg-Diagrammes entsprechen genau der Schubrichtung des Antriebes. Der Kurvenkörper, Bestandteil Nr. 30.101, ein Hohlyylinder als Träger des Kurvenprofils, hat einen Außen-durchmesser von 50 mm. Es handelt sich darum, das Kurvenprofil um diesen Kurvenkörper zuwickeln. Das Profil wird zuerst auf dem Papier entworfen und nachher auf die Karton- oder Blechscheibe übertragen. In diesem Falle müssen wir jedoch dieses Zeit-Weg-Diagramm dem Umfang des Kurventrägers anpassen. Der Gesamtdurchmesser des Kurventrägers beträgt 50 mm. Sein Umfang ist somit  $50 \cdot \pi$ . Das Blech des Kurvenprofils hat eine Dicke von 0,2 mm. Der Gesamt-Außendurchmesser der Glockenkurve mit aufmontiertem Kurvenprofil ist somit  $50,4 \cdot \pi = 158,2$  mm. Für den Entwurf des Zeit-Weg-Diagrammes nehmen wir eine Abszissenachse von 158,2 mm, die in zwölf gleiche Teile einzuteilen ist. Wie läßt sich diese Distanz von 158,2 mm in zwölf genaue Teilstrecken einteilen?

Zur Abszissenachse von 158,2 mm zieht man eine Hilfslinie, laut Fig. 3.47, steckt auf dieser Hilfslinie zwölf Teilstriche à je 10 mm ab, verbindet C mit B und zieht nun die Parallelen zu dieser ersten Linie. Die Teilung auf der Strecke A-B wird nun auf den Bruchteil eines Millimeters geraut. Auf diesen Punkten werden nun die Vertikalen erstellt, sowie das Zeit-Weg-Diagramm. Das für die Glockenkurve bestimmate Kurvenprofil ist aus Fig. 3.48 und 3.49 ersichtlich.



Fig. 3.46



Fig. 3.47

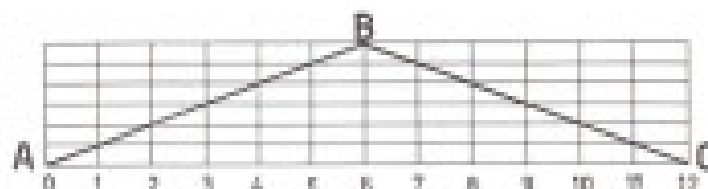


Fig. 3.48



Fig. 3.49

Die AUTOMAT-Baukästen enthalten Rohlinge zu Kurvenprofilen der Glockenkurven aus Preßspan und Blech. Für die ersten Versuche lohnt es sich, diese Kurvenprofile aus Preßspan anzufertigen. Die Löcher und Slitze für die Befestigung werden nach den Blechscheiben kopiert. Blechprofile werden mit einer alten Schere ausgeschnitten, mit Feile und Schmirgelpapier verputzt.

Die Befestigung des Kurvenprofils auf dem Kurvenkörper geschieht am besten so, daß zuerst die Mitte befestigt wird, wo eine besondere Schraube laut Fig. 3.50 verwendet wird, die in die innere Nut des Kurvenkörpers paßt.



Fig. 3.50

Fig. 3.51 zeigt die Befestigung der fertigen Glockenkurve mit aufmontiertem Profil.

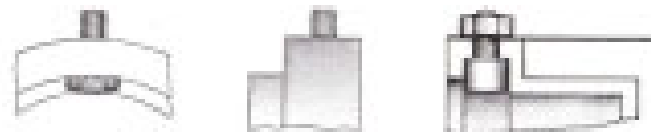


Fig. 3.51

#### Glockenkranz mit starrem Übertragungselement

Fig. 3.52 zeigt das elementarste Getriebemodell der Glockenkurve. Wir sehen dabei, wie während einer halben Umdrehung der Kurvenwelle der Schieber durch das Kurvenprofil vorgeschieben wird und während der zweiten Hälfte der Umdrehung dieser Schieber wieder mit gleichmäßiger Geschwindigkeit zurückgeht. Wir stellen auch fest, daß hier eine rotierende in eine geradlinige Bewegung umgewandelt wird. Die Kurvenrolle am Ende eines starren Armes überträgt die Bewegung auf den geradlinig verlaufenden Schieber, der sich auf zwei Käfigen bewegt. Die Berührung der Kurvenrolle mit dem Kurvenprofil wird durch zwei Federn erzwungen. Die prinzipielle Montage des Schiebers auf der Käfige ist aus Fig. 3.53 ersichtlich. Bessere Laufeigenschaften werden erreicht, wenn nur zwei Blöcke 35.106 verwendet werden.

Fig. 3.54 zeigt eine andere Anordnung des Antriebes.

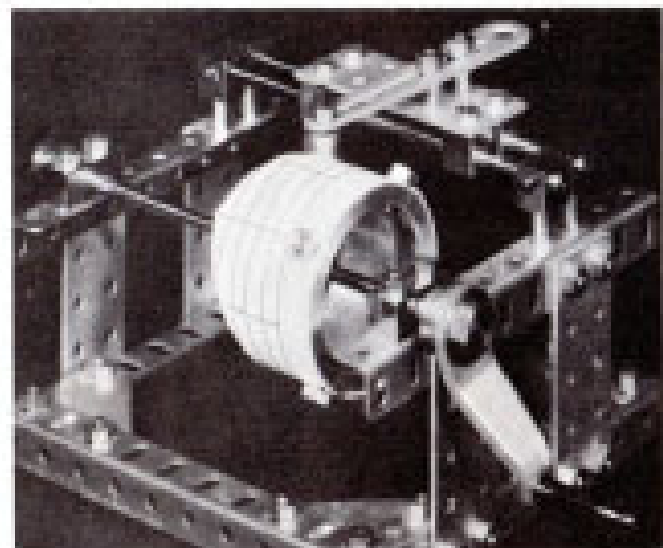


Fig. 3.52

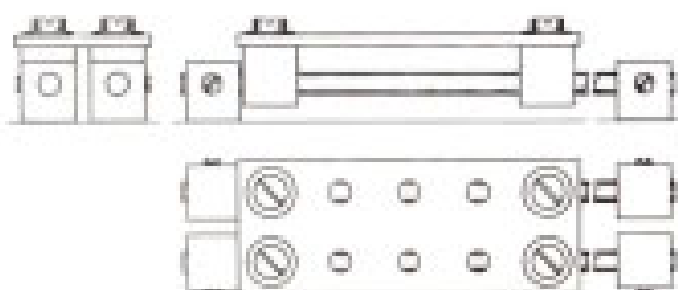


Fig. 3.53

Fig. 3.34

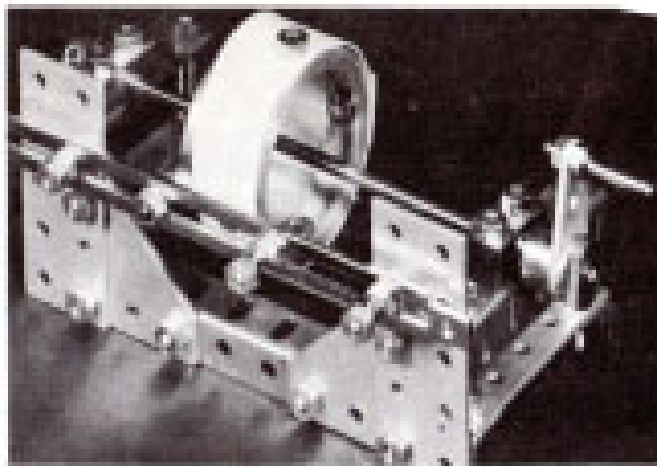
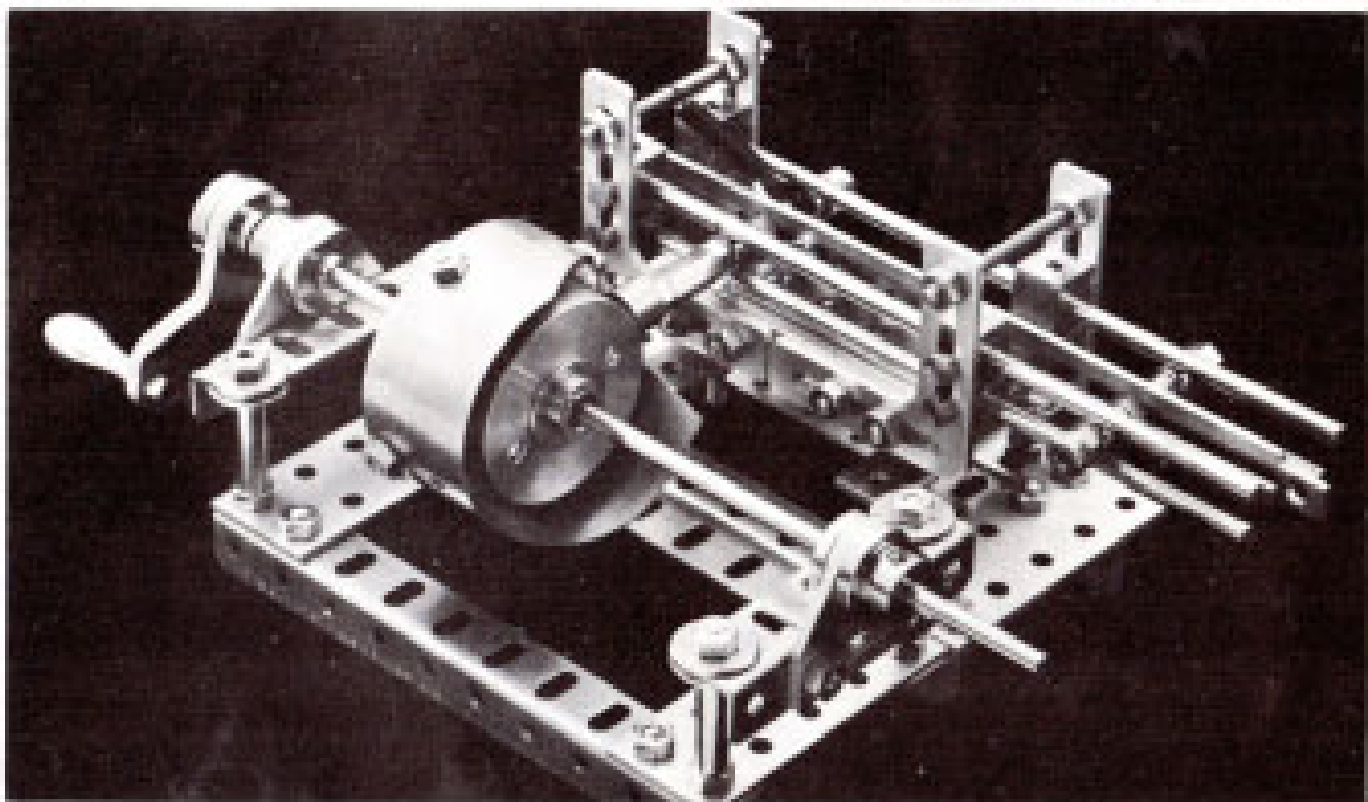


Fig. 3.35



Glockenkurven mit Schwinghebeln

Bei den Glockenkurven in Verbindung mit Schwinghebeln geht man genau gleich vor wie beim Entwurf der Zeit-Weg-Diagramme für Kurvenprofile mit Schwinghebeln. Die Bewegungen des Schwinghebels an der Glockenkurve sind genau gleich wie in Fig. 3.34 dargestellt. Die Bewegungsgesetze sind die genau gleichen. Fig. 3.36 zeigt das Getriebemodell mit Schwinghebel.

Fig. 3.36

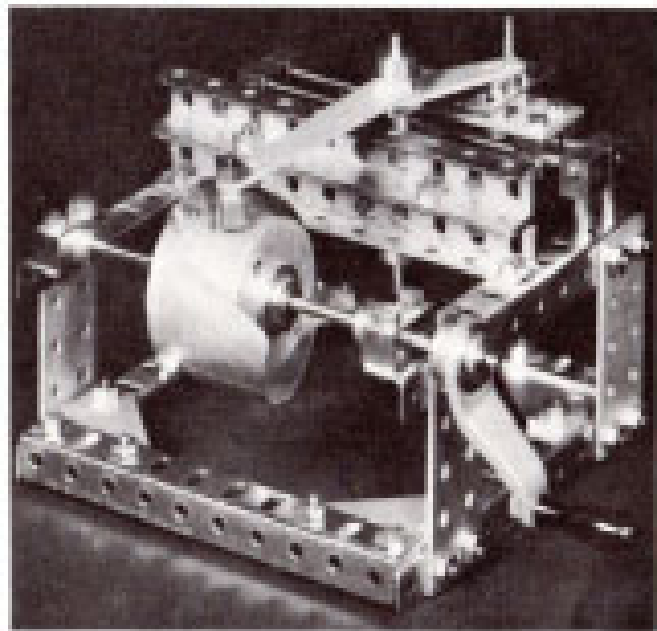


Fig. 3.57 zeigt, wie der Kurvenklepper auf der Welle befestigt wird.

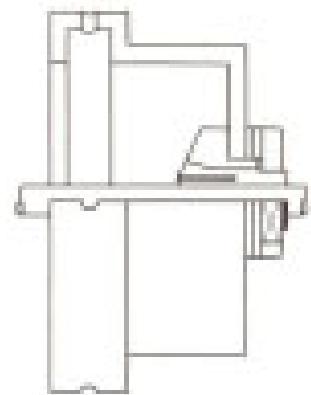


Fig. 3.57

Fig. 3.58 zeigt das Profil einer Glockenkurve für eine Bohroperation (Tornos AG, Moutier). Der Umfang der Glockenkurve wird in  $360^\circ$  eingeteilt und die einzelnen Arbeitsläufe auf diesem Umfang verteilt.

Von  $75^\circ$  bis  $93^\circ$  wird der Abtrieb in die Arbeitsstellung vorgeschoben, und die Bohroperation beginnt bei  $93^\circ$ , dauert bis  $191^\circ$ , während dieser Zeit erfolgt die Operation des Bohrteils, und zwar auf eine Tiefe von  $3.9\text{ mm}$ ; während  $\Sigma$  verharrt die Kurvensolle, d. h. das Werkzeug, in Ruhestellung und kehrt von  $193^\circ$  bis  $203^\circ$  in die Ausgangslage zurück.



Fig. 3.58

Bild 3.59 zeigt das Profil der Glockenkurve für den Vorschub des Spindelstocks eines Tornos Automaten.

Die Abszissenachse, die die Gesamtzeit für alle Bewegungen während einer Umdrehung der Kurvenwelle darstellt, wird durch die horizontale Grundlinie verklebert. Der Gesamtweg wird durch die Gesamthöhe des Rechteckes dargestellt. Zwischen  $83^\circ$  und  $106^\circ$  wird der Spindelstock um  $23.50\text{ mm}$  vorgeschoben. Zwischen  $180$  und  $219^\circ$  wird der Spindelstock wiederum um eine beträchtliche Distanz von  $40\text{ mm}$  vorgeschoben.

Die Horizontalen des ganzen Kurvenprofils stellen Stützpunkte des Spindelstocks dar, während welchen die Arbeiten der Werkzeuge erfolgen.

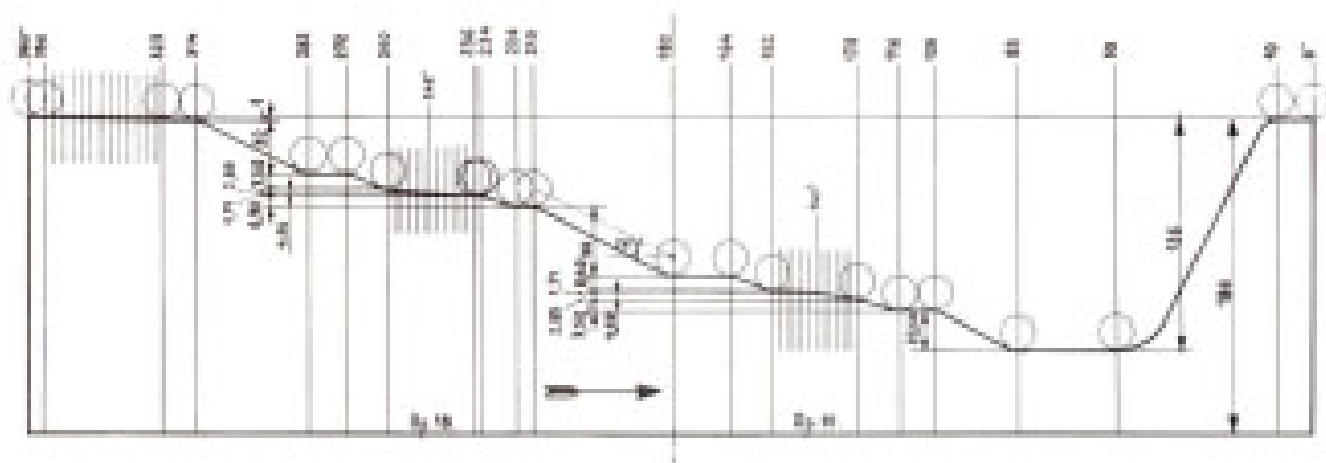


Fig. 3.59

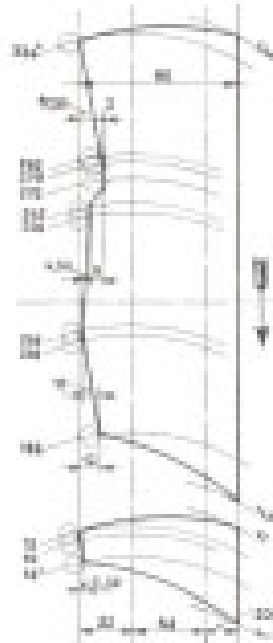


Fig. 3.60 zeigt zwei Ausschnitte einer besonderen Kurvenausbildung für einen 2-Spindel-Bohrapparat. Auch diese Form von Kurvenprofilen kann leicht mittels einem AUTOMAT-Kurvenkopf 59.104 nachgebildet werden (in Bauteilen 33 und 1900 enthalten). Auf dieser Abbildung 3.57 sieht man auf dem Teil rechts sehr deutlich zwischen  $59^\circ$  und  $72^\circ$  eine Vorschubbewegung um 2,3 mm. Beim eigentlichen Profil für die Bohroperation finden wir zwischen  $163^\circ$  und  $205^\circ$  einen Vorschub des Bohrs um 11 mm.

Fig. 3.60



Fig. 3.60a zeigt ein besonders interessantes Kurvenprofil eines Tormos-Automaten. Da bei langen Löchern die Späne nach bestimmten Vorschüben aus der Bohrung entleert werden müssen, muß der Bohrer mit den daran haftenden Spänen aus dem Loch herausgezogen werden. Die «Tales» im Kurvenprofil stellen diese Arbeit dar. Die linke Seite des «Tales» stellt den schnellen Rückzug des Werkzeuges dar, die weniger steile Talseite die erneute Vorschubbewegung bis in die Ausgangsstellung, während die geneigten «Bergkappen» den eigentlichen Vorschub des Werkzeuges darstellen.

Fig. 3.60a

### Nockengetriebe

Werden die Kurvenscheiben aus Kreisbögen verschiedenster Durchmesser und geraden Strecken gebildet, so werden sie als Nockenscheiben bezeichnet. Andere Formen von Nockenscheiben zeichnen sich nach dadurch aus, daß amtielle der geraden Verbindungsstrecken ebenfalls Kreisbögen verwendet werden.

Abbildung 3.61 zeigt eine Darstellung eines einfachen Nockengetriebes mit zentrischem Abtriebsglied. Die Nockenscheibe besteht aus zwei Kreisbögen mit Radius  $r_1$  und  $r_2$  in einem Abstand von D, die durch zwei gerade Strecken an den Tangenten  $T_1$ ,  $T_2$ ,  $t_1$  und  $t_2$  miteinander verbunden sind. Dieses Nockengetriebe ergibt im Abtrieb zwei Stillstände, und zwar beim Ablauen der Kurvenrolle über die Kreisbögen  $T_1$ — $T_2$  und von  $t_1$ — $t_2$ . Vorschub und Rücklauf erfolgen beim Ablauen der Kurvenrolle über die geraden Strecken.

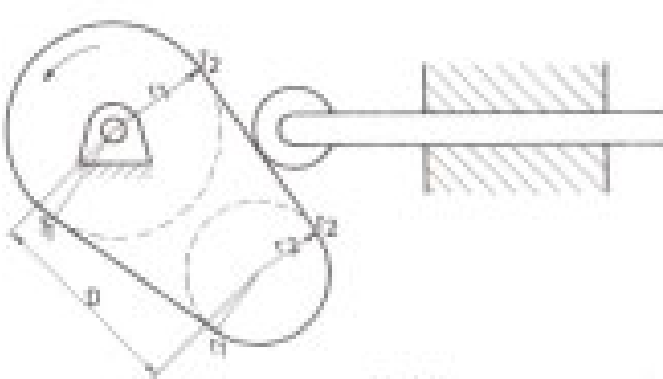


Fig. 3.61

Der aufmerksame Beobachter wird aus dieser Abbildung sofort erkennen können, daß dieses Getriebe bei schnelllaufenden Maschinen nicht einwandfrei funktionieren wird und daß eine Abtriebbewegung über einen Schwinghebel günstiger wäre. Warum? Die Erklärung dafür ist sehr einfach, wenn Sie ein Getriebemodell mit diesen Eigenschaften konstruieren. Eine Aufgabe besteht darin, das Zeit-Weg-Diagramm für das abgebildete Nockengetriebe zu erstellen. Für  $r_a = 25 \text{ mm}$ , für  $r_s = 18 \text{ mm}$ , für  $D = 50 \text{ mm}$ . Man verweise ein Zeit-Weg-Diagramm mit zwölf Zeiteinheiten.

Nockengetriebe als eine Untergruppe der Kurvengetriebe, d. h. von Kurvenscheiben, spielen im Maschinenbau zur Steuerung der Bewegungen eine wichtige Rolle.

Als Rudolf Diesel im Jahre 1892 in seiner Schrift »Theorie und Konstruktion eines rationalen Wärmemotors« der Welt seine Erfindung des seither nach ihm benannten Motors offenbarte, hatte er bereits die hier beschriebenen Gesetze zur Ventilsteuering angewendet. Nocken zur Steuerung der Ventile werden in sämtlichen Verbrennungsmotoren, d. h. in den Benzinmotoren der Autos und Dieselmotoren verwendet.

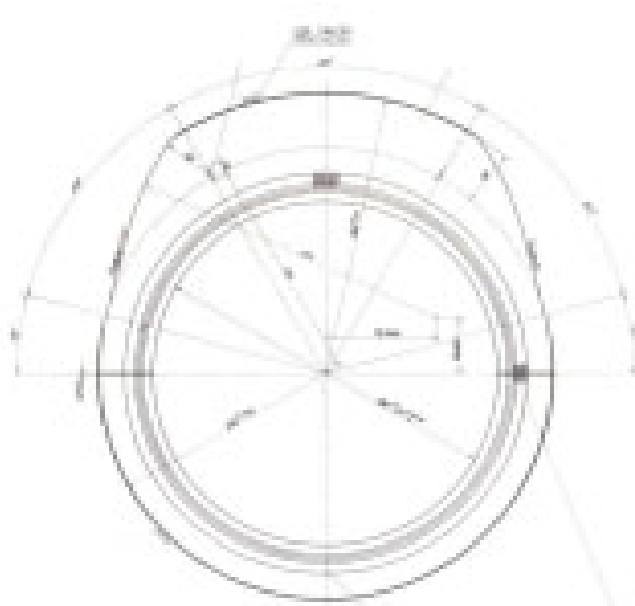


Fig. 3.62

Fig. 3.62 zeigt die Konstruktion der Nocken für die Brennstoffpumpe eines Zweitakt-Sulzer-Diesel-Motors (Gehrü der Sulzer AG, Winterthur, Schweiz).



Fig. 3.63

Fig. 3.63 zeigt die Nockenwelle der Brennstoffpumpe eines Sulzer-Dieselmotors.

## Kurvenrollen und Kurventaster

Bei den bisherigen Versuchen arbeiteten wir mit einer Kurvenrolle, die dazu dient, den Reibungswiderstand am Berührungs punkt mit der Kurvenscheibe auf ein Minimum zu reduzieren. In der Praxis werden — je nach Arbeitsverhältnissen der Maschine — diese Kurvenrollen auch noch auf Kugellagern gelagert. Unter den verschiedensten Anwendungen kommt es nun oft vor, daß eine Änderung der Bewegung innerst der kürzesten Zeitspanne übertragen werden soll, und wo Kurventaster Verwendung finden.

Betrachten wir einmal die Anwendung dieser Überlegungen in der Praxis, und zwar auf Grund eines Vergleiches, der den Arbeitsverhältnissen der Praxis entspricht. Wir nehmen dabei an, daß ein Schwinghebel oder Schieber innert kürzester Zeit auf eine Beschleunigung reagieren soll, und daß das dafür zugrunde liegende Zeit-Weg-Diagramm wie Fig. 3.64 aussieht.

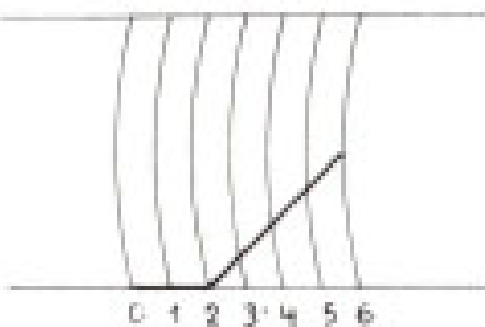


Fig. 3.64

Auf eine Kurvenscheibe übertragen, sieht dieses Detail, wie Fig. 3.65 aus.

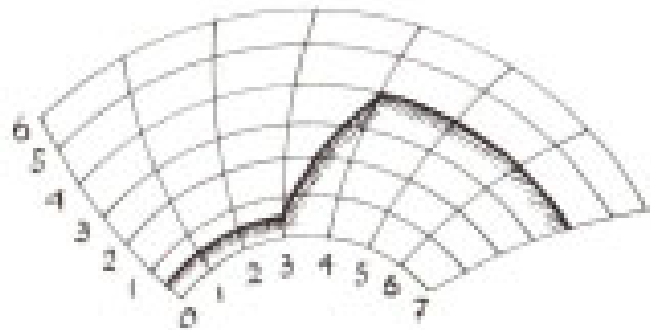


Fig. 3.65

Bei der Verwendung von Kurvenrollen würde sich das Abrollen der Kurvenrolle auf dem Profil der Kurvenscheibe so abspielen, wie aus Fig. 3.66 ersichtlich ist. Wir stellen hier fest, daß die Kurvenrolle den Punkt A, der die Beschleunigung einleitet, gar nicht berührt, sondern beim Weiterrollen an die ansteigende Kurve anstoßt. Die Bewegung wurde jedoch so geplant, daß die Änderung der Geschwindigkeit beim Punkt A, nicht früher und nicht später, erfolgen soll. Die Kurvenrolle eignet sich in diesem Falle nicht, das durch das Zeit-Weg-Diagramm festgelegte Bewegungsgesetz zu respektieren. Die Bewegung der Kurvenrolle ist um die Strecke  $a$  zu kurz.

Um in solchen Fällen die Bewegungen genau nach Plan ausführen zu können, werden Kurventaster verwendet.

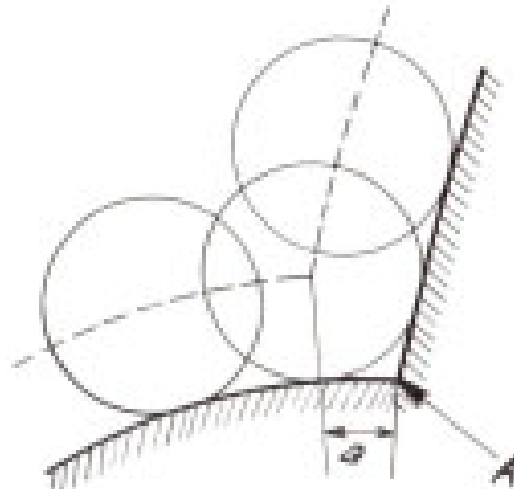


Fig. 3.66

Kurventaster sind runde Bolzen, die an ihrem Arbeitsende wie eine Messerkante ausgebildet sind. In der Praxis ist jedoch auch diese Kante sehr leicht abgerundet. Fig. 3.67.

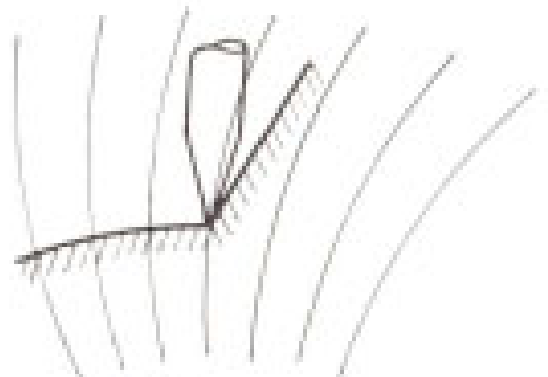


Fig. 3.67

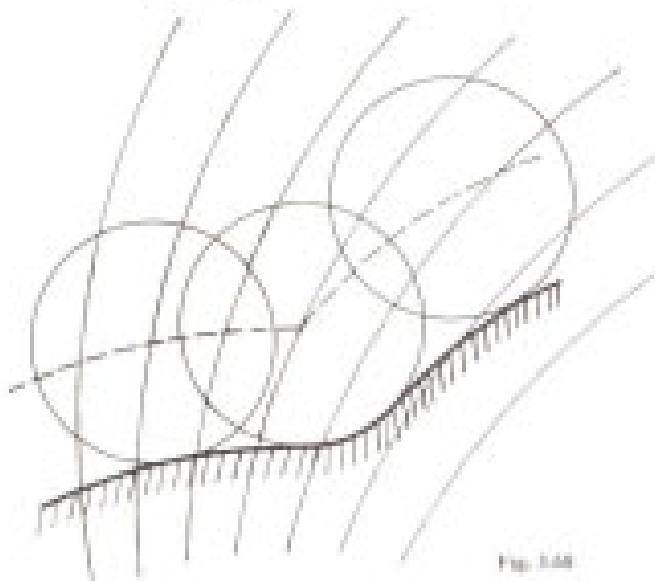


Fig. 3.68

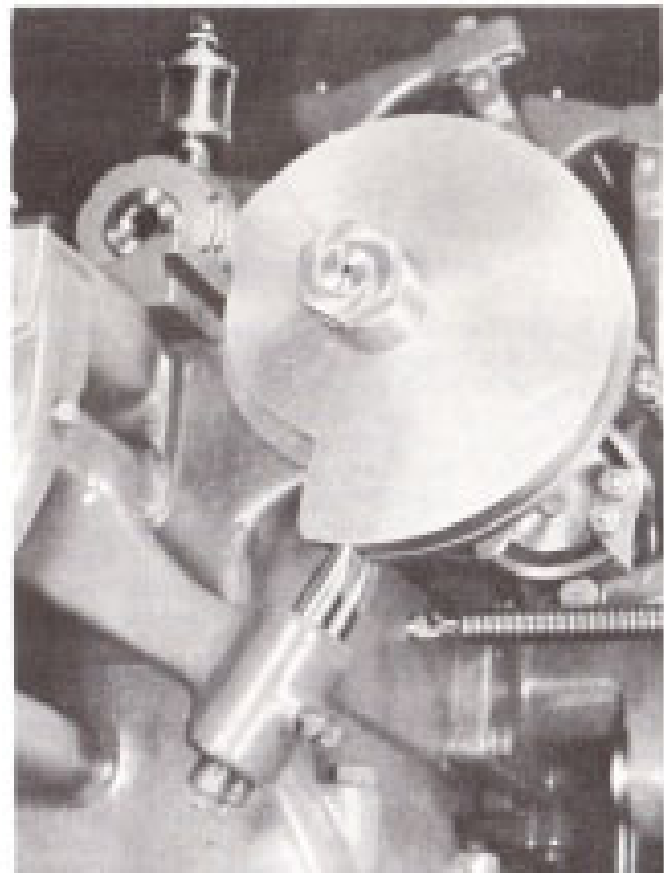


Fig. 3.69

Fig. 3.69 zeigt die Anwendung von Kurventastern in der Praxis bei den Tornos-Drehautomaten der Firma Tornos AG, Moutier, Schweiz. Bei der Konstruktion der Kurvenscheiben muß deshalb auch die Art des Eingriffsgliedes bekannt sein.

Beim AUTOMAT-Baukasten haben wir ebenfalls Kurventaster mit Messerkante, die sich jedoch bei Kurvenscheiben aus Preßspan infolge der zu hohen Reibung nur schlecht anwenden lassen. Sie eignen sich jedoch erträglich für Versuchs- und Entwicklungsarbeiten in Verbindung mit Kurvenscheiben aus Metall. Diese Kurventaster werden im Hälter 50.117 befestigt und mit dem Hebel montiert.

### Die geradlinige Eingriffsfäche

Die bisher behandelten Kurvengerüste standen im Zusammenhang mit Kurvenrollen und Kurventastern als Eingriffglieder. Ist nun der Eingriffspunkt zwischen Schieber und Kurvenscheibe zu einer Geraden erweitert, so ist die jeweilige Stellung des Schiebers durch die tangentiale Anlage der Geraden an die Kurve gegeben. Fig. 3.70.

Ein Punkt der Geraden, der als Verbindung zwischen Drehpunkt der Kurvenscheibe und Achse des Abtriebes zu denken ist, beschreibt eine Bahn relativ zur Kurvenscheibe. Es ist dies die Bahn, die für das zu übertragende Bewegungsgesetz maßgebend ist.

Diese Art des Abtriebes ist nur dann anwendbar, wenn die Steigungswinkel flach sind und keine Überschneidungen vorkommen. Auch vermag diese Form des Eingriffgliedes hohen Teilen des Kurvenprofils nicht zu folgen.

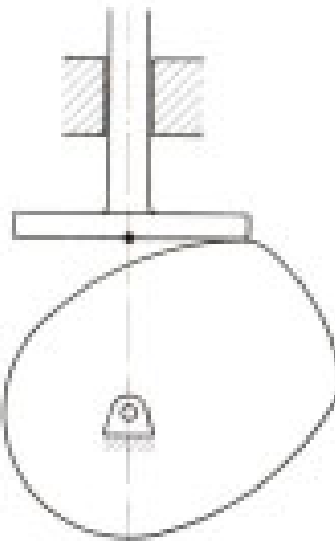


Fig. 3.70

Als Eingriffglied dieser Art enthält der AUTOMAT-Baukasten auch ein Stück laut Fig. 3.71 (Bestandteil Nr. 50.103).

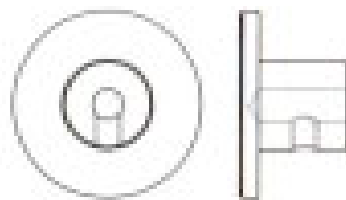


Fig. 3.71

Beim Studium technischer Literatur begegnen wir immer wieder den beiden Ausdrücken Kraftschluß und Formschluß. Was bedeuten sie?

### Kraftschluß und Formschluß

Nach Routhaux's grundlegender Theorie der kinematischen Ketten erzwingt die Bewegung eines Gliedes in einer Kette eine entsprechende Bewegung der andern Glieder.

Bei den Kurvengerüsten kann festgestellt werden, daß dies nur insofern richtig ist, als die Kurvenrolle mit der Kurvenscheibe in Berührung steht und die Bewegung auf den Schieber oder den Schwinghebel übertragen kann. Bei den bisherigen Modellen wurde die Berührung der beiden Glieder — Kurvenscheibe und Kurvenrolle — durch die Feder oder durch die Schwerkraft des Schiebers oder Schwinghebels erzwungen. Man spricht in solchen Fällen von einem Kraftschluß.

Erweist sich bei der Erhöhung der Drehzahl einer Maschine die Federkraft zu schwach, dann hebt sich die Rolle von der Kurvenscheibe ab. Die Kurvenscheibe dreht sich während eines kurzen Zeitintervall ohne entsprechende Abtriebsbewegung weiter. Der Kraftschluß ist aufgehoben. Diesen Nachteil wird dadurch abgeholfen, daß die Kurvenrolle in einer Nut der Kurvenscheibe geführt wird, laut Abbildung 3.72 und 3.73. Die Kurven-



Fig. 3.72

rolle bewegt sich dann in einer genau vorgeschriebenen Bahn. Die beiden Wände dieser Nut entsprechen den Äquidistanzen zur Mittelpunktsbahn der Kurvenrolle. Die Rolle folgt dabei jeweils nur einer Wandung, und das Spiel zwischen Rolle und Wandung der Nut ist den Betriebsverhältnissen der Maschine und der nachgesuchten Genauigkeit anzupassen. Auch bei hohen Geschwindigkeiten muß die Kurvenrolle der Form des Kurvenprofils folgen. Man spricht in diesem Falle von Formschluß.

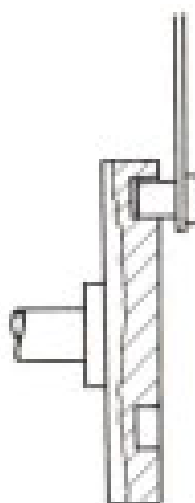


Fig. 3.73

### Steigungswinkel, Übertragungswinkel

Die bisherigen Zeit-Weg-Diagramme wurden ohne Rücksichtnahme auf deren praktische Ausführung erstellt. Die Praxis lehrt aber, daß gewisse, aus langen Erfahrungen gesammelte Werte, nicht unbedingt bleiben dürfen, wenn ein fehlerfrei funktionierendes Kurvengetriebe konstruiert werden soll.

### Der Steigungswinkel!

Zur Ermittlung des Steigungswinkels bei Kurvenscheiben für zentrischen Kurvenschub geht man wie folgt vor: Ziehen Sie Linie 1, als Tangente zum Kurvenprofil beim Berührungs punkt des Eingriffgliedes mit der Kurvenscheibe. Linie 2 ist die Verlängerung der Abtriebsrichtung und Verbindung mit dem Drehpunkt der Scheibe. Linie 3 wird als Senkrechte zur Linie 2 errichtet beim Berührungs punkt des Eingriffgliedes. Der Winkel  $\alpha$  zwischen Linien 2 und 3 ist der Steigungswinkel bei Kurvenscheiben für zentrischen Kurvenschub — Fig. 3.74.

Die Praxis hat gelehrt, daß dieser Steigungswinkel bei schnelllaufenden Maschinen  $30^\circ$  nicht übersteigen sollte. Bei langsam laufenden Maschinen hingegen kann dieser Steigungswinkel bis  $45^\circ$  gehen.

### Der Übertragungswinkel

Der Übertragungswinkel  $\beta$  bezieht sich auf den Abtrieb. Er wird gebildet von der Bewegungsrichtung des Eingriffspunktes einerseits und der Relativbewegung dieses Punktes gegenüber dem Kurvenglied. Der Praktiker wird darauf achten, daß der Radius  $r$  des Grundkreises so groß als möglich gewählt wird, welchem Bestreben jedoch durch die Platzverhältnisse der Maschine Grenzen gesetzt sind. Auch hier hat die Erfahrung gesezt, daß bei schnelllaufenden Kurventrieben der Übertragungswinkel von  $60^\circ$  nicht unterschritten werden soll, während bei langsam laufenden Getrieben die untere Grenze bei etwa  $45^\circ$  liegt.

In Fig. 3.74 stellen wir fest, daß sich Steigung- und Übertragungswinkel beim zentrischen Kurvenschub auf  $90^\circ$  ergänzen. Diese Erfahrungswerte können praktisch so erprobt werden, daß wir verschiedene Kurvenscheiben mit verschiedenen Steigungs- und Übertragungswinkeln aus-

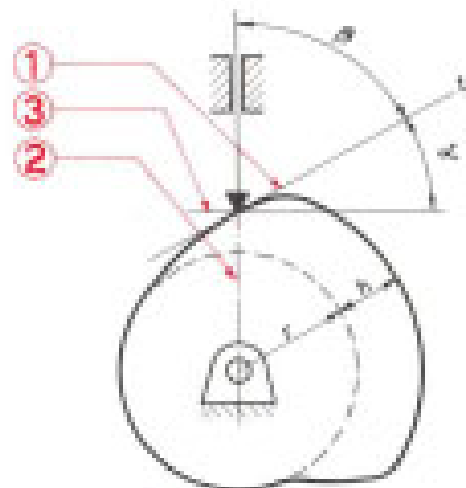


Fig. 3.74

probieren, indem wir am senkrechten Schieber noch eine Zugfeder befestigen und den Widerstand beim Drehen der Kurvenscheibe feststellen. Dabei soll besonders darauf geachtet werden, daß die Reibung in den Führungsschienen auf ein Minimum reduziert wird. Das einfache Modell laut Fig. 3.8 wird sich für diese Versuche weniger eignen als Modell laut Fig. 3.9.

Beim Entwerfen von Zeit-Weg-Diagrammen müssen wir somit auf den daraus entstehenden Übertragungswinkel Rücksicht nehmen. Wir können also nicht irgendeinen beliebigen Bewegungsablauf in einem Zeit-Weg-Diagramm festlegen, sondern müssen die aus der Praxis herausgebildeten Erfahrungswerte berücksichtigen. Dies läßt sich am besten an Hand der folgenden Beispiele veranschaulichen:

Angenommen, wir benötigen für einen bestimmten Zeitintervall einen Hub von 15 mm. Wie sieht der Übertragungswinkel an der betreffenden Stelle in der Kurvenscheibe aus? Fig. 3.73 zeigt den betreffenden Ausschnitt des Zeit-Weg-Diagrammes. Wir nehmen an, daß wir für die Kurvenscheibe nur einen beschränkten Platz zur Verfügung haben, nämlich 80 mm. Wir wollen nun versuchen, eine Kurvenscheibe zu konstruieren — d. h. den besonderen Abschnitt mit Hub von 15 mm — welche die festgelegten Bewegungsgesetze respektiert und gleichzeitig den günstigsten Übertragungswinkel ergibt.

In Fig. 3.76 haben wir zwei verschiedene Grundkreise gewählt. Der Hub ist bei beiden Beispielen genau gleich, d. h. 15 mm. Durch die Vergrößerung des Grundkreises — die Außenverzahnung des Zeit-Weg-Diagrammes — ergeben sich auch zwei verschiedene Übertragungswinkel.

Wir schen aus dieser Gegenüberstellung, daß der Übertragungswinkel durch eine Erweiterung des Grundkreisdurchmessers günstiger gestaltet werden kann.

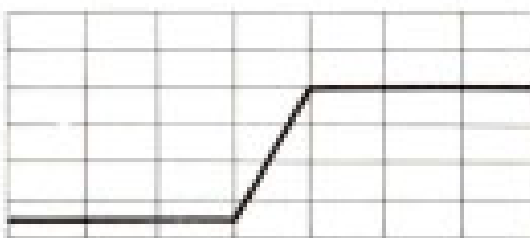


Fig. 3.75

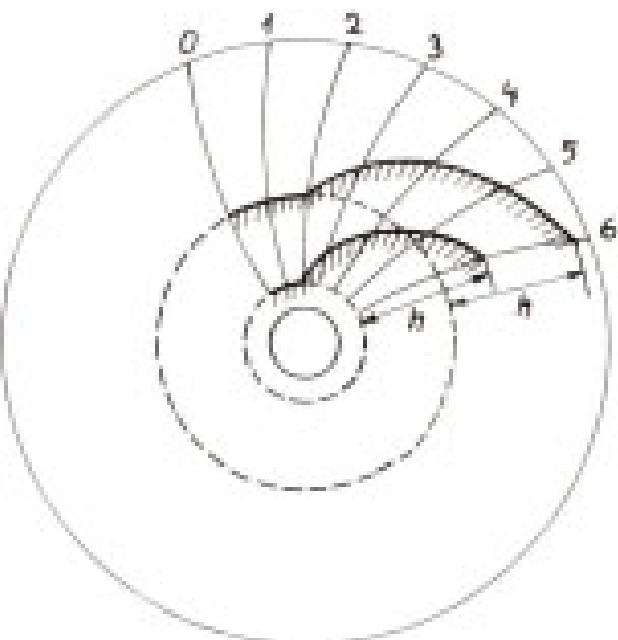


Fig. 3.76

### Geschwindigkeiten und Beschleunigungen

Wir haben bereits erklärt, daß innerhalb gewisser Zeitschritte eine bestimmte Wegstrecke zurückgelegt wird. Fig. 3.77 zeigt einen Ausschnitt aus einem Zeit-Weg-Diagramm mit vier verschiedenen Geschwindigkeiten:

Von A—B braucht die Kurbelrolle insgesamt vier Zeiteinheiten, um eine Wegstrecke von vier Einheiten zurückzulegen. Wenn  $v$  = Geschwindigkeit,  $s$  = Weg,  $t$  = Zeit, so haben wir:

$$v = \frac{s}{t} = \frac{30 \text{ mm}}{4 \text{ s}} = 5 \text{ mm/s}$$

$$\text{Von B—C} = \frac{10 \text{ mm}}{1 \text{ s}} = 10 \text{ mm/s}$$

$$\text{Von C—D} = \frac{0 \text{ mm}}{2 \text{ s}} = \text{Stillstand des Schiebers während 2 Sekunden}$$

$$\text{Von D—E} = \frac{30 \text{ mm}}{1 \text{ s}} = 30 \text{ mm/s}$$

(Siehe auch »Ausbildung von Kurvenscheiben für Verarbeitungsmaschinen am Schluß.»)

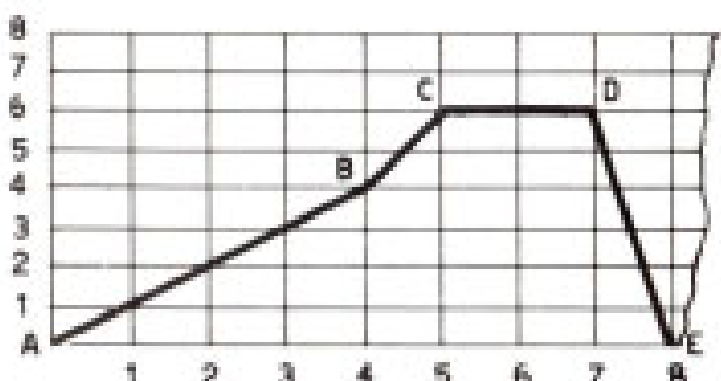


Fig. 3.77

## Die Steuerung von drei Operationen mittels Glockenkurve und Scheibenkurven

Die Aufgabe besteht darin, selbständig einen ganzen Kurvensatz, d. h. die für eine Operation benötigten Kurvenschreiben herzustellen. Wir nehmen dabei folgende Arbeit als Grundlage:

Es handelt sich darum, von einer runden, massiven Stange mit Durchmesser  $D_1$  Stücke mit einer Länge  $L$  und einem Durchmesser  $D_2$  seitenweise herzustellen. Da der Auftrag dringend und Stangenmaterial im gewünschten Durchmesser nicht am Lager ist, muß vorhandenes Material auf den richtigen Durchmesser abgedreht werden.

Bei der Planung dieser Operation gehen wir dabei so vor, als ob sie sich bereits vor unseren Augen abrollen würde. Der Arbeitsvorbereiter und Werkzeugmacher muß deshalb die Arbeitsvorgänge ebenso gut kennen wie der Arbeiter, der die Maschine betreut. Wir nehmen an, daß der Durchmesser  $D_2$  20 mm sei und  $D_1$  16 mm. Fig. 3.78. Man muß auf den Gesamtdurchmesser 4 mm Material abdrehen. Da dies in einem Arbeitsgang nicht möglich ist, müssen in zwei Arbeitsgängen je 1 mm Material abgedreht werden.

Wir nehmen ferner an, daß es sich um eine Maschine mit einem beweglichen Spindelstück handelt, dessen Funktion es ist, das Material vorzuschieben. Wir nehmen an, daß für die Steuerung der Vorschubbewegung eine Glockenkurve verwendet werde. Fig. 3.79 zeigt die Glockenkurve eines Tornos-Drehautomaten der Firma Tomos AG, Mauter. Für die Drehoperation und das Abstechen, d. h. Abtrennen auf die gewünschte Länge, steht je eine Scheibenkurve zur Verfügung.

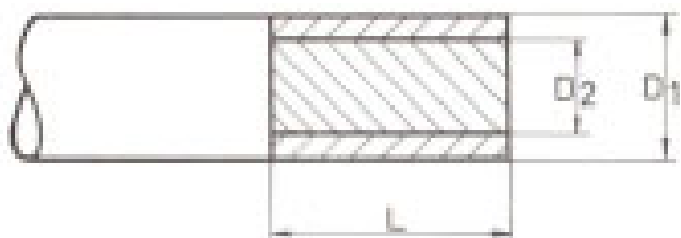
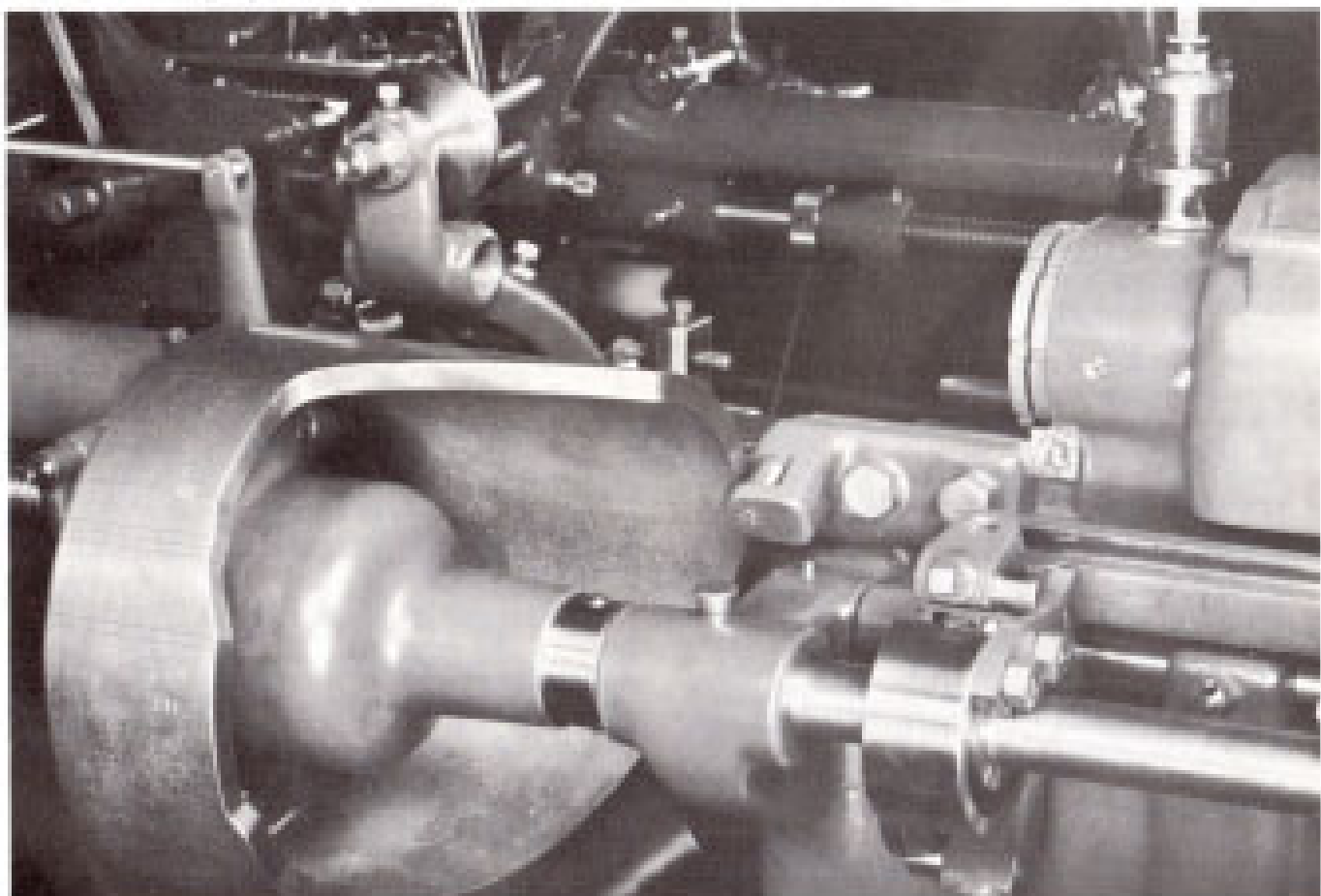


Fig. 3.78

Fig. 3.79



Wir erstellen nun den Fahrplan für diese Operation, d. h. den Bewegungsplan, der den zeitlichen Ablauf und die Vorschübe bestimmt und als Grundlage für die Kurven dient. Dabei ist zu beachten, daß sich alle Operationen in einer gewissen Reihenfolge abspielen müssen und daß auf eine Umdeutung der Kurvenwelle ein Stück fertig aus der Maschine kommt.

Man erstellt zu diesem Zweck die drei Zeit-Weg-Diagramme untereinander. Die Zeitschritte sind für alle drei Operationen die gleichen. Es empfiehlt sich, diese Bewegungspläne auf Millimeterpapier einzutragen. Fig. I.80, I, II und III.

Bei diesem Getriebemodell verwenden wir Schwinghebel mit einem Hebelehrverhältnis von 1:3 für die beiden Scheibenkurven. Für beide Scheibenkurven mißt der lange Hebelarm 75 mm und trägt die Kurvenrolle, während das kurze Ende 25 mm mißt und mit einem feststehenden, runden Gleitstück versehen wird. Der kurze Hebelarm überträgt die Bewegung auf einen horizontalen Schieber, der den Werkzeughalter darstellen soll. Wir müssen deshalb die im Zeit-Weg-Diagramm angegebenen Distanzen mit 3 multiplizieren, wenn die Scheibenkurven die gesuchten Vorschübe erzeugen sollen. Dies trifft jedoch nicht zu für die Glockenkurve, wo die im Zeit-Weg-Diagramm angegebenen Wege den von der Glockenkurve tatsächlich zurückgelegten Weg darstellen.

I zeigt die Bewegungen des Spindelstocks. Die schräg ansteigende Linie A-B zeigt den Vorschub des Werkstückes. Der Spindelstock, der durch die Glockenkurve gesteuert wird, wird stufenlos vorgeschieben, während das Drehwerkzeug seine Arbeit verrichtet. Nachdem der Spindelstock den Punkt B erreicht hat, bei Bild e, Fig. I.81, ist die erste Drehoperation beendet. Von B bis C führt der Spindelstock mit der bereits überdrehten Stange über den ganzen, bereits zurückgelegten Weg zurück. Von C bis D wird der Spindelstock mit der bereits abgedrehten Stange wiederum vorgeschieben, und zwar bis Punkt D. Dies ist aus der Bildfolge f-i ersichtlich.

Beim Punkt D des Zeit-Weg-Diagrammes ist die gewünschte Länge wiederum erreicht, und der abgedrehte Zapfen hat den gewünschten Durchmesser von 16 mm, sowie die Länge L.

Von D bis E verbleibt der Spindelstock an der gleichen Stelle und geht von E bis F in seine Ausgangslage zurück. Die horizontale Strecke D-E auf dem Zeit-Weg-Diagramm stellt denselben Zeitschritt dar, während welchem der Spindelstock stillsteht und das Abziehwerkzeug seine Arbeit verrichtet.

II. Dieser Abschnitt des Fahrplans zeigt die Bewegungen des Drehwerkzeuges.

Von H bis I geht es in die Arbeitsstellung vor und ist beim Punkt I in Berührung mit der Stange. Es bleibt an dieser Stelle, während das Material vorgeschieben wird. In diesem ersten Arbeitsgang wird durch das Werkzeug ein Span von 1 mm Dicke abgedreht, so daß sich der Durchmesser der Stange auf 19 mm reduziert. Bildfolge a-e. Während der Spindelstock auf seine Ausgangslage zurückfährt, rückt das Drehwerkzeug für die zweite Drehoperation vor, kommt wiederum in Berührung mit dem Werkstück und beginnt das Material auf den Durchmesser D<sub>2</sub> zu drehen, d. h. von L-M, Bilder f-i. Bei M ist die Drehoperation beendet. Der gedrehte Zapfen hat jetzt einen Durchmesser von 16 mm (Bild i). Das Werkzeug führt von M bis N in seine Ausgangslage zurück und ruht von N-O.

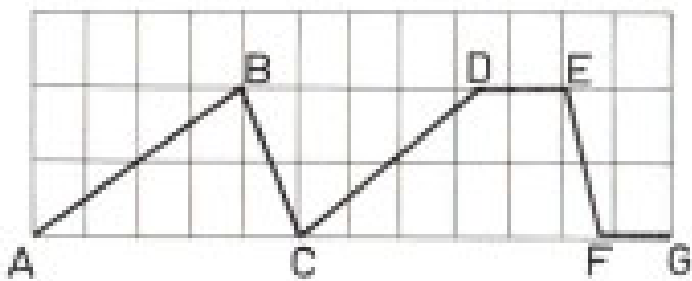


Fig. I.80 I)

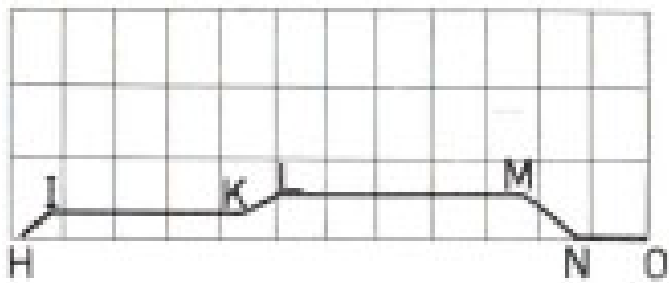


Fig. I.80 II)

- III. Stellt die Operation des Abschneins der kurzen Stücke dar. Das besonders geformte Abstechwerkzeug bleibt in seiner Ausgangslage von P—Q. Von Q—R rückt es bis an den Außendurchmesser des abgedrehten Zapfens vor (Bild k), ist bei l (Stelle R auf dem Zeit-Weg-Diagramm) in Berührung mit dem Metall und beginnt den Einstich. Während dieser Zeit steht der Spindelstock still, verharrt an der gleichen Stelle, während sich das Werkstück dreht. Da dieser Zapfen einen Durchmesser von 16 mm hat, muß das Abstechwerkzeug etwas wenig mehr als 8 mm vorgeschoben werden (Bildfolge k—n; Strecke RS des Zeit-Weg-Diagrammes). Bei Punkt S fällt das fertige Stück von der Stange ab (Bild o) und das Abstechwerkzeug geht in seine Ausgangsstellung zurück (Bild p). Die drei Operationen sind beendet.

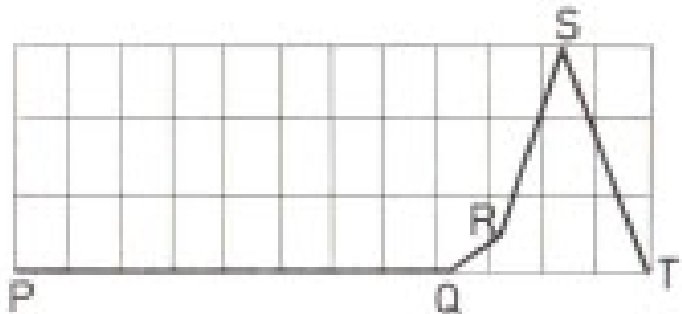


Fig. 3.40 (1)

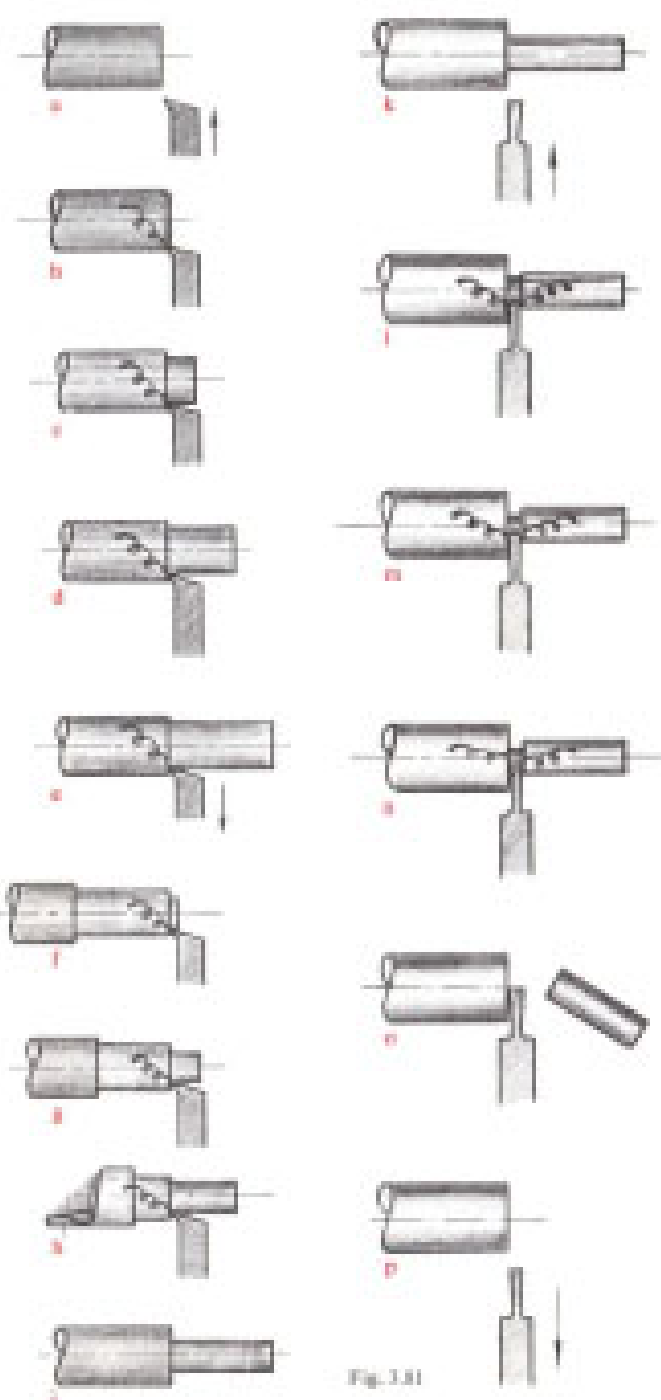


Fig. 3.41

Das Getriebemodell ist in Fig. 3.82 dargestellt. Beachten Sie bitte, daß die abgebildeten Kurvenscheiben für eine andere Operation bestimmt waren.

Fig. 3.82

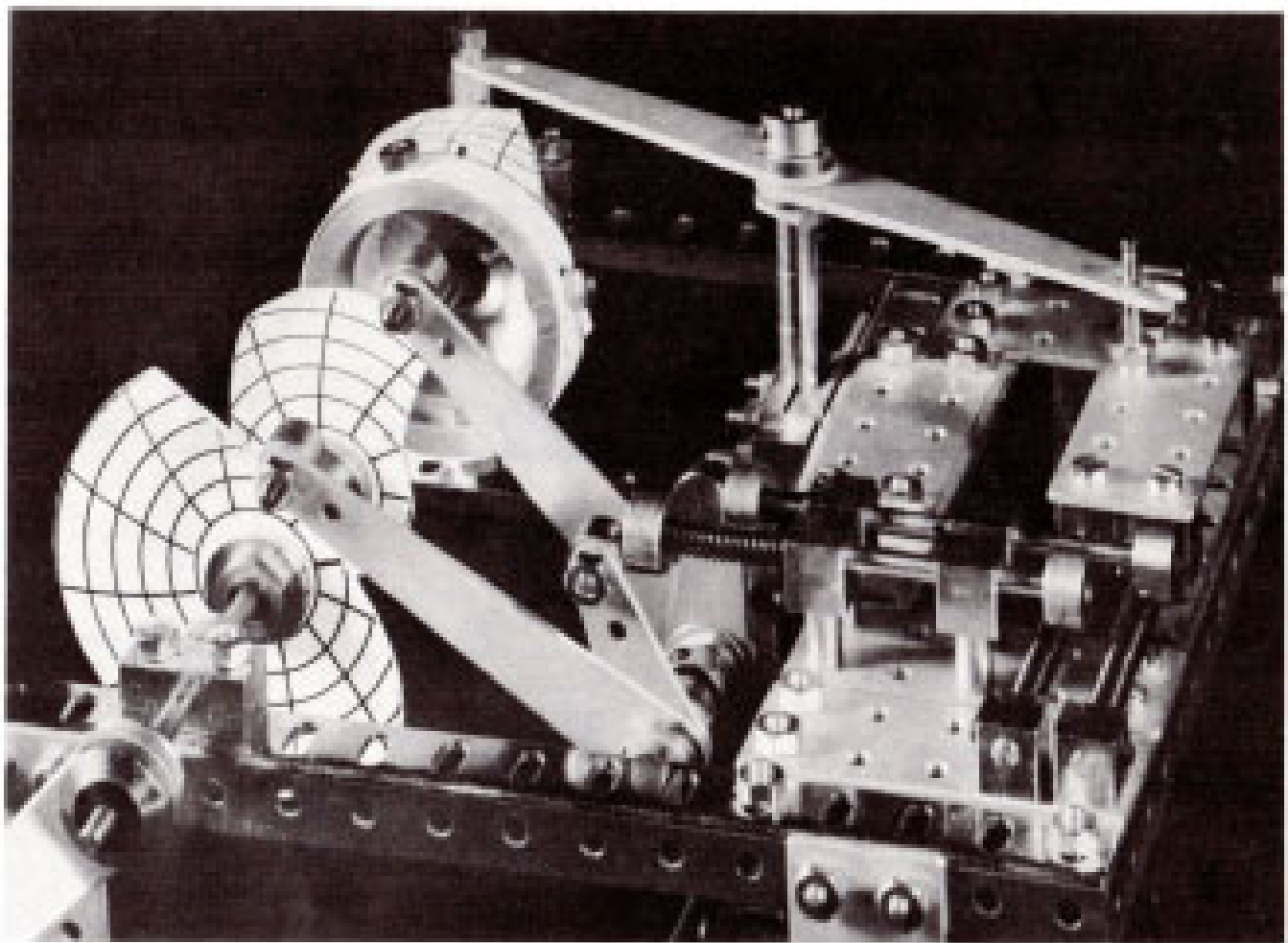


Fig. 3.83 zeigt, wie die Achsen für die Schwinghebel befestigt sind.

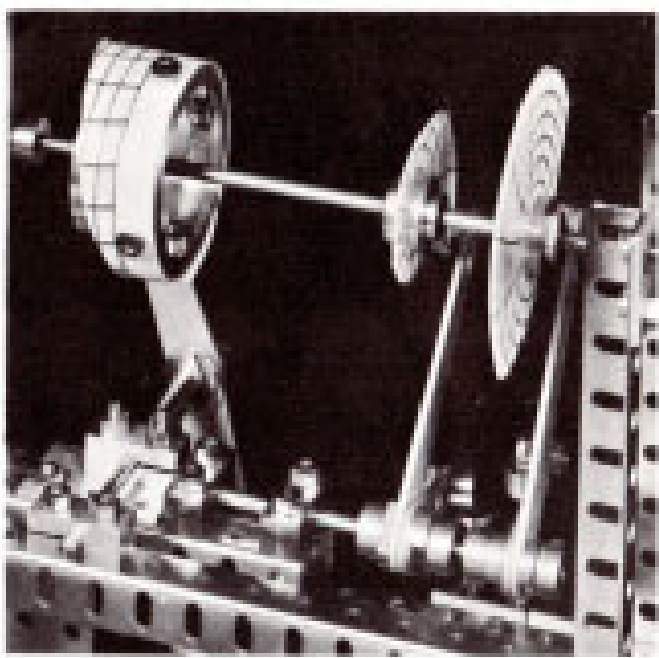


Fig. 3.83

Fig. 3.84 zeigt den Schieber, der den Spindelstock darstellen soll. Auf den horizontalen Führungsschienen werden Federn eingelegt und ein Kraftschluß zwischen Glockenkurve und Schwinghebel erstellt. Wir empfehlen, das Profil der Glockenkurve aus Blech herzustellen.

Wie aus Abbildung 3.82 hervorgeht, wurden bei diesem Modell die Werkzeuge nebeneinander angeordnet. Bei Drehautomaten werden aber die Werkzeuge radial zum Werkstück angeordnet. Bei diesem Modell begnügen wir uns damit, die Werkzeugschlitten wie angezeigt anzurichten und konzentrieren uns vorerst einmal darauf, drei verschiedene Operationen zu koordinieren.

Dem Montieren der Kurven auf der Kurvenscheibe ist besondere Aufmerksamkeit und Sorgfalt zu schenken. Achten Sie darauf, daß bei sämtlichen Kurven die Nullstellung, d. h. der Anfang des Bewegungsablaufes, gut markiert ist. Diese Nullstellung (die linke Seite des Zeit-Weg-Diagrammes) der drei Kurven muß unbedingt auf der gleichen Linie liegen, wenn der Bewegungsplan eingehalten werden soll.

Dieses einfache Beispiel zeigt, wie durch Automatisierung monotone Arbeit ausgeschaltet und der Arbeiter für intelligenter Probleme — die Berechnung der Kurvenscheiben, das Einrichten der Maschine, die Qualitätskontrolle frei wird. Wenn auch viele Maschinen weiter automatisiert werden und auch die Maßkontrolle der Werkstücke durch die Maschine selbst besorgt wird, so finden wir immer wieder Maschinengattungen, wo die Neuerstellung der Werkzeuge nur durch persönlichen Eingriff des Arbeiters erfolgen kann.

Derjenige, der sich als Elektro-Techniker betätigen und elektrische und elektronische Steuergeräte konstruiert, muß auch die prinzipiellen mechanischen Funktionen dieser Maschinen verstehen. Das hier Gezeigte ist somit nicht nur für den Elektro-Techniker und Ingenieur von Nutzen. Ob die Kurvenscheiben mechanisch einen Werkzeugschlitten oder eine Programmsteuerung überwachen, so setzt dies eine Kenntnis der Konstruktion von Kurvenscheiben voraus.

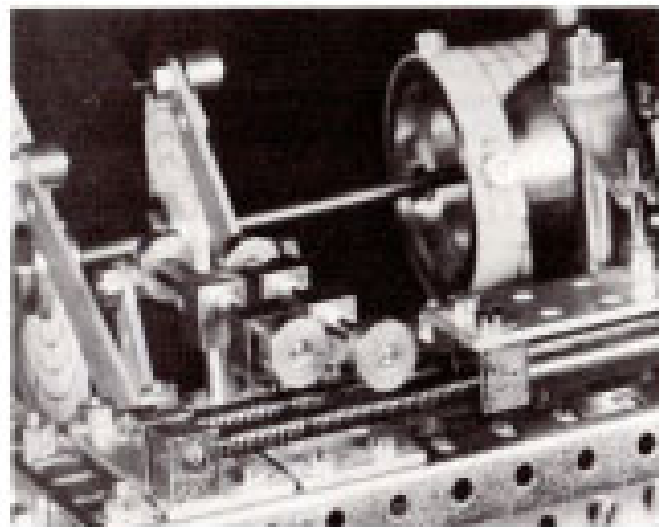


Fig. 3.84

### Kurvengesteuerte Hebelmechanismen

Wir haben bereits aus dem Abschnitt der Hebel gelernt, wie durch kleine Kräfte große Lasten bewältigt werden können. Diese Gesetze werden weitgehend bei kurvengesteuerten, automatischen Maschinen angewendet. Um die prinzipielle Anwendung dieser Gesetze bei wenigstens einem Maschinentyp, den Drehautomaten, verständlich zu machen, bauen wir uns das Versuchsgerät laut Abbildung 3.85.

Es besteht aus einer Kurvenscheibe, dem Schwinghebel, an welchem in einem Schlitz ein Zapfen verschiebbar angeordnet ist. Dieser Zapfen überträgt die Bewegung über eine Stange auf den oberen, gleicharmigen Doppelhebel. Der Ausschlag dieser Hebelübersetzung wird auf einer Skala angezeigt.

Wir finden nun folgendes: Je näher der Zapfen am Drehpunkt des Schwinghebels befestigt wird, um so kleiner wird der Ausschlag. Je mehr wir den Zapfen gegen die Kurvenscheibe verschieben, um so größer wird der Ausschlag.

Wir können dies genau an Hand der Skala nachprüfen.

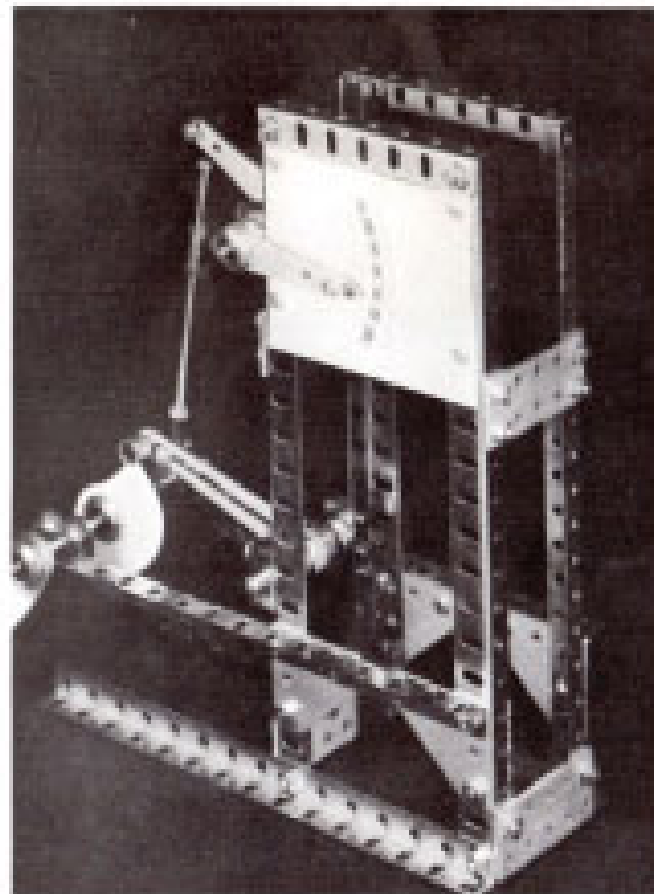


Fig. 3.85

Fig. 3.86 ist eine graphische Darstellung der obigen Behauptung. Die Regel lautet, daß der Hub des Übertragungshebels vom Abstand seines Drehpunktes am Schwinghebel abhängig ist. Wenn der Hebel AC 75 mm mißt und BC (die Distanz vom Deckpunkt des Schwinghebels bis zum Drehpunkt des Übertragungshebels) 25 mm ist, so erhalten wir ein Hebelverhältnis von 1:3. Dies bedeutet also, daß für je 3 mm Hub an der Kurvenscheibe, der gleicharmige Hebel oben einen Ausschlag von 1 mm anzeigt.

Diese Anordnung des verschiebbaren Zapfens kann vier Zwecken dienen.

1. Um die Abstützung der Kurvenscheibe herabzumindern.
2. Um besonders große Widerstände am Arbeitsende des Hebelarmes zu überwinden.
3. Um Ungenauigkeiten in der Herstellung des Kurvenprofils zu reduzieren.
4. Um bei bestimmten Verwendungen einen veränderlichen Hub zu erreichen. Wir können uns z. B. vorstellen, daß eine Kurvenscheibe dazu dienen soll, Stangen verschiedener Durchmesser zu bearbeiten, wobei der Hub, bzw. Vorschub, veränderlich sein soll.

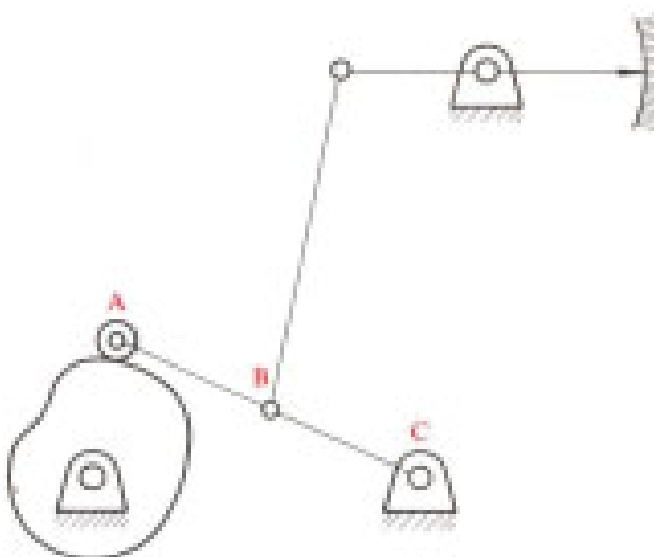
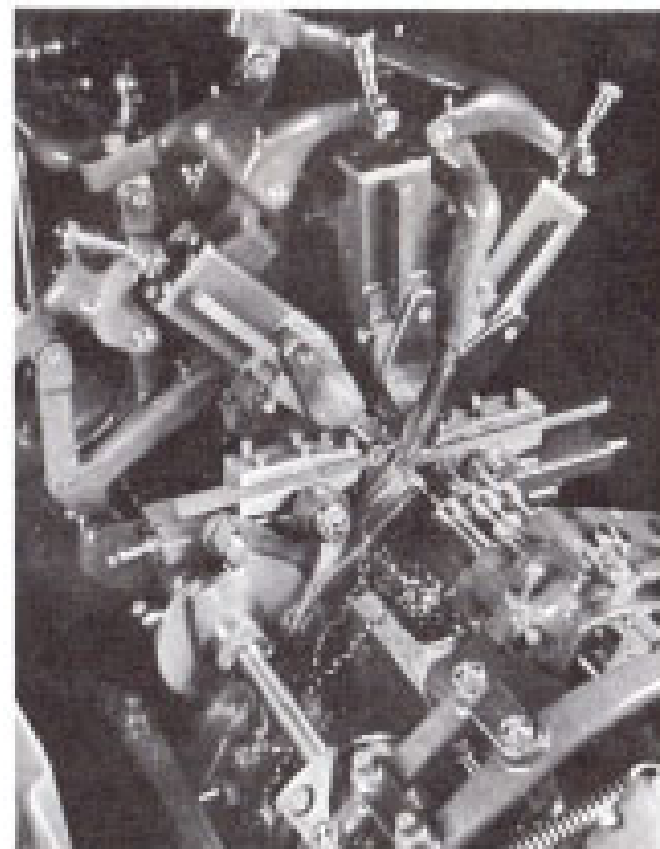


Fig. 3.86

#### Die Steuerung der Werkzeuge III, IV und V eines Schraubenautomaten



Bevor wir ein angenähertes Modell eines vollständigen Schraubenautomaten bauen können — ein höchst interessantes und kompliziertes Gebilde, wie aus der nebenstehenden Abbildung Nr. 3.87 kaum ersichtlich ist — müssen wir vorerst einmal die Arbeitsweise der wichtigsten Elemente kennen lernen. In diesem Abschnitt behandeln wir ausschließlich zwei Einzelheiten:

- a) Die Anordnung der Werkzeuge.
- b) Die Kurvenscheiben und das Hebelverhältnis.

Fig. 3.87

Abbildung 3.88 zeigt den prinzipiellen Aufbau dieses Modells. Wir stellen dabei fest, daß die drei Werkzeuge radial zum Werkstück angeordnet sind. Die drei Werkzeuge liegen alle auf einer Ebene. Da sie radial angeordnet sind, wirken sie alle auf die Werkstückachse. Das zu bearbeitende Material wird durch den beweglichen Spindelstock in der Längsachse der Maschine vorgeschoben. Wenn wir die Abbildung 3.88 betrachten, so müssen wir uns das so vorstellen, daß die runde Stange gegen uns vorrückt und sich die drei radial angeordneten Werkzeuge abwechselungsweise auf die Mitte dieser Stange — durch den Kreis dargestellt — hin- und zurückbewegen. Bild 3.87 zeigt die Anordnung der verschiedenen Werkzeuge an einem Torno-Automaten der Firma Torno AG, Moutier/Schweiz.

Eines der Geheimnisse der hohen Genauigkeit solcher Automaten besteht nun darin, daß das Werkstück so nahe als möglich am Spannfutter bearbeitet wird. Das ist auch der Grund, warum die Werkzeuge auf einem sehr gedrängten Raum angeordnet sind.

Die Verbindungsräder übertragen die Bewegungen von den Kurvenscheiben auf die Werkzeugschlitten. Schematisch ist dies in Fig. 3.86 dargestellt. Auf Bild 3.87 sehen wir am oberen Rand des Bildes die Übertragungsorgane der Bewegungen von den Verbindungsrädern auf die Werkzeugschlitten. Die axial zum Werkzeugschlitten sichtbaren, runden Verlängerungen sind Mikrometer, die zur Feineinstellung der Bewegungen dienen.

#### Werkzeugführungen V

#### Werkzeugführungen IV

#### Werkzeugschlitten III

#### Führung

#### Schneidkante der Werkzeuge

#### Werkstück

Fig. 3.88

### Das Hebelverhältnis

Wir haben bereits darauf hingewiesen, daß je nach Hebelverhältnis Unregelmäßigkeiten und Ungenauigkeiten in der Herstellung der Kurvenscheiben reduziert werden können. Haben wir z. B. ein Hebelverhältnis von 1:4, und einen Fehler in der Kurvenscheibe von 0,1 mm, so wirkt sich dieser Fehler am Arbeitsende des Werkzeugschlittens nur mit 0,025 mm aus. Für den vorliegenden Modellversuch nehmen wir ein Hebelverhältnis von 1:3 an, d. h. ein Fehler in der Kurvenscheibe bei diesen Modellversuchen von vielleicht 1 mm stellt einen Fehler von 0,33 mm dar. Dieses Hebelverhältnis muß beim Herstellen des Kurvenprofils immer berücksichtigt werden. Brauchen wir am Arbeitsende, also dort, wo das Werkzeug das Metall bearbeitet, einen Vorschub von 1 mm, so muß die Kurvenscheibe einen Vorschub von 3 mm aufweisen. Beim Modell laut Fig. 3.89 haben wir Schwinghebel von 75 mm Länge verwendet. Wir haben beim Bau dieses Modells somit folgendes zu berücksichtigen:

- Die Schwinghebel haben eine Länge von 75 mm.
- Das Übersetzungsverhältnis ist 1:3.
- Die Kurvenscheiben müssen somit den dreifachen Hub berücksichtigen.

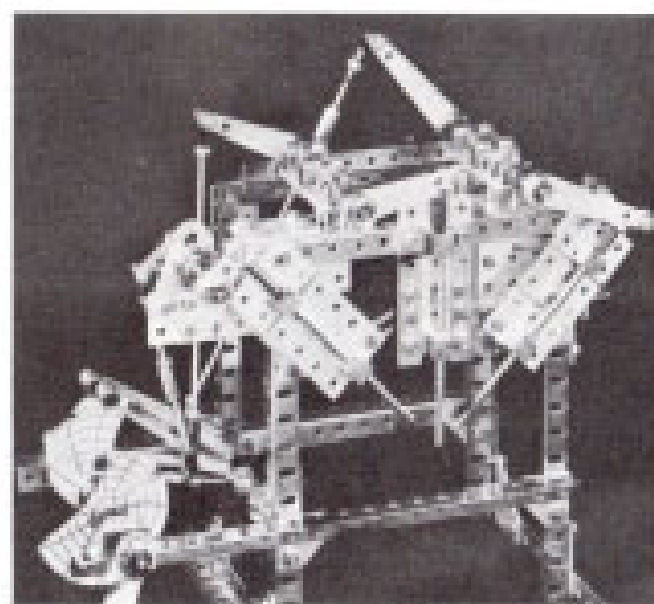


Fig. 3.89

Fig. 3.90 a zeigt die Vorderansicht des oberen Gestellelementes.

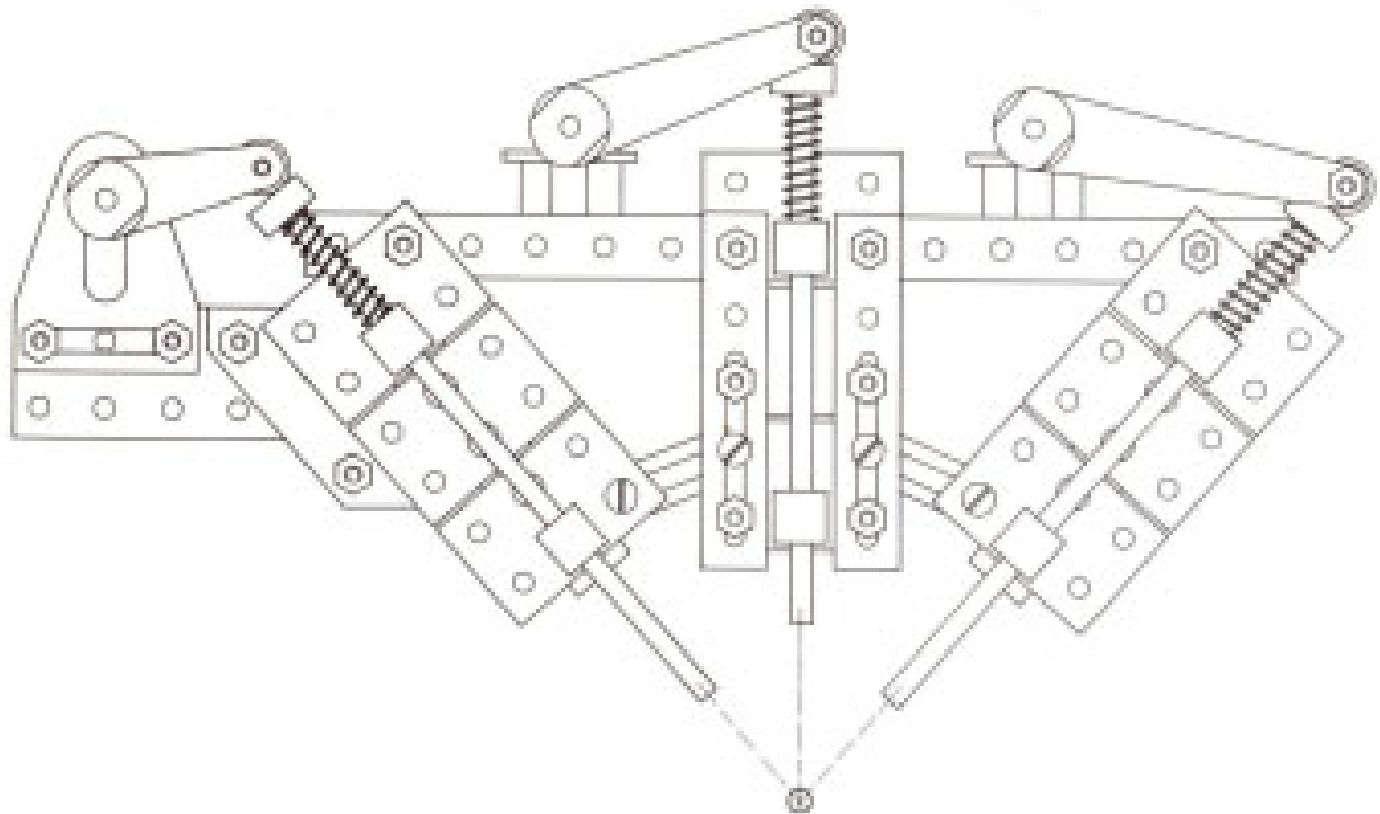


Fig. 3.90 b zeigt die Ansicht von oben.

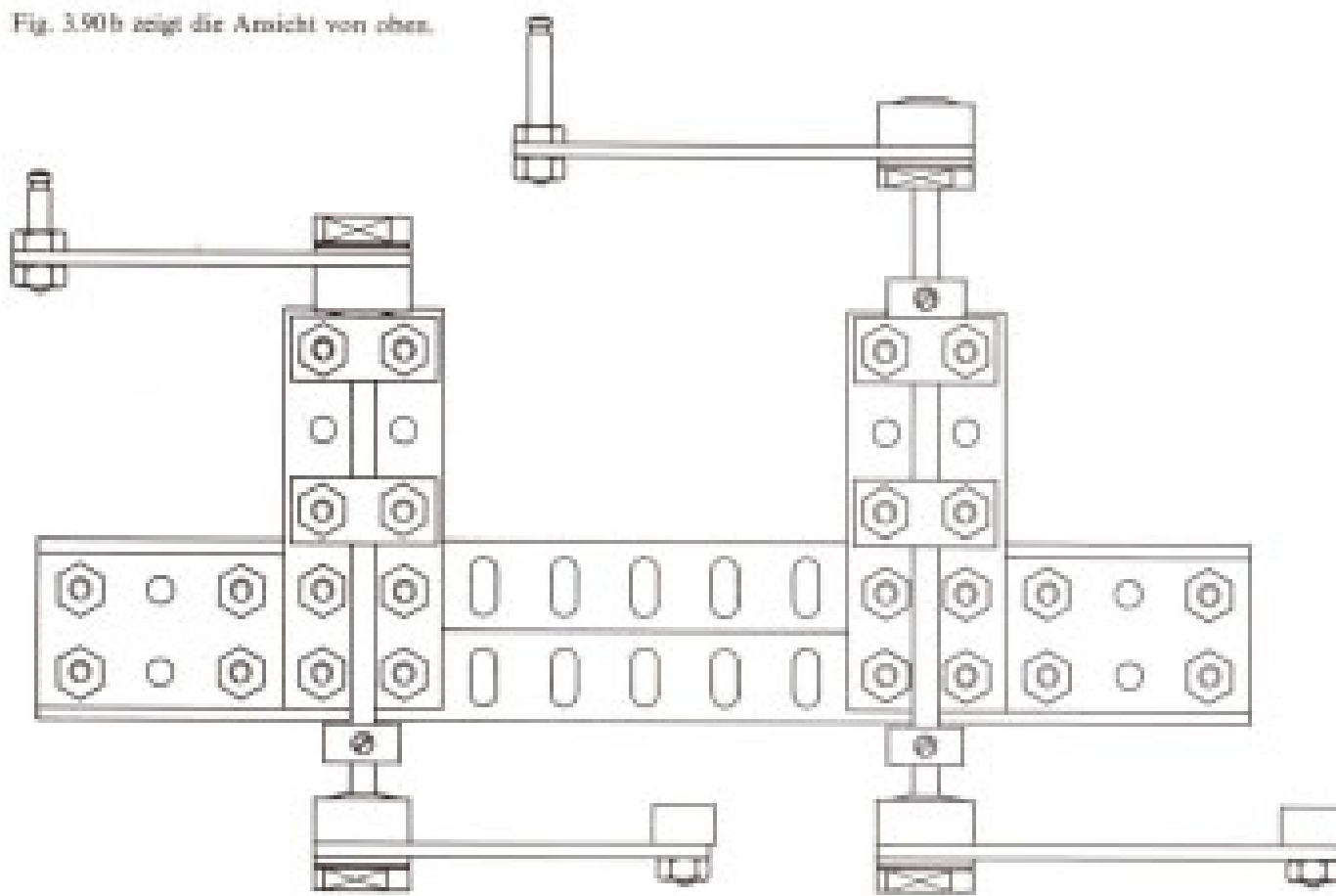


Fig. 3.91 zeigt die Seite der Kurvenwelle.

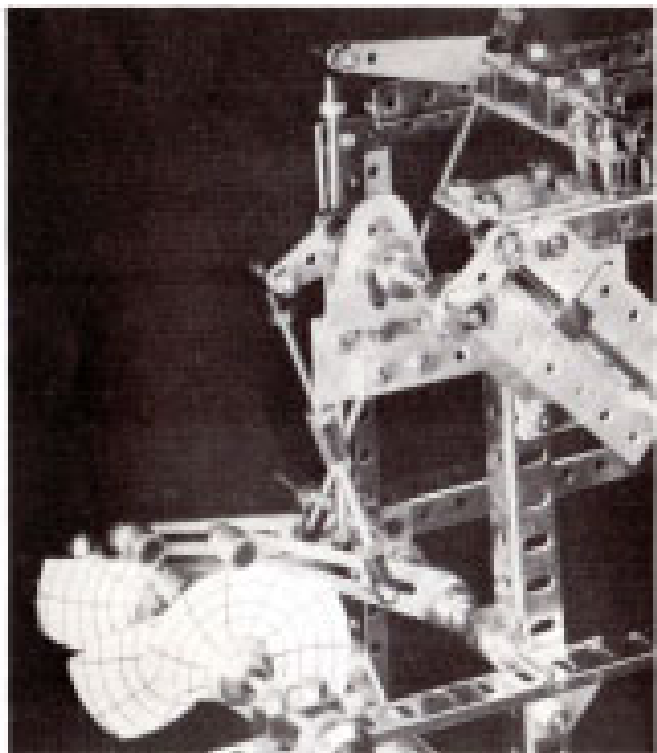
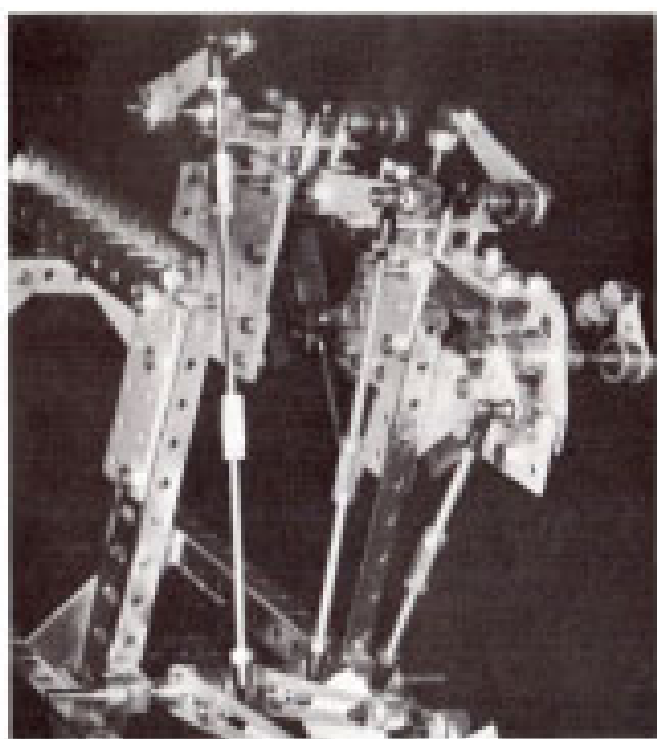


Fig. 3.92 zeigt die Ansicht von hinten mit den Übertragungsrägen.



Als interessante Aufgabe dieses Abschnittes der AUTOMAT-Broschüre sei folgendes Problem gestellt:

Konstruieren Sie sämtliche Kurvenscheiben, montieren Sie diese auf einer gemeinsamen Kurvenwelle, kompliziert mit allen Übertragungsgelenken, zur automatischen Herstellung eines Teiles laut Fig. 3.93, der drei Operationen erfordert. Wir beschränken uns hier lediglich auf die Werkzeuge III, IV und V und lassen vorläufig die Bewegungen des Spindelstockes außer Betracht.

Die Operation besteht aus drei Einzeloperationen, die von je einem Werkzeug ausgeführt werden.

1. Ober die Länge  $L_1$  ist das Material von  $D_1$  auf  $D_2$  herunterzudrehen.
2. Am linken Ende des Teiles wird der Außendurchmesser nicht überdrückt; dagegen ist ein halbkreisförmiger Einstich zu drehen.
3. Abstechen von der Stange.

Wir erstellen den Bewegungsplan für diese drei Operationen wie folgt, Fig. 3.94:

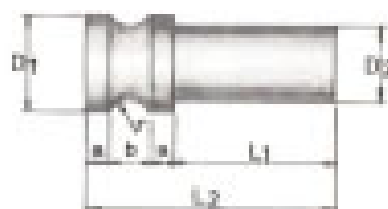
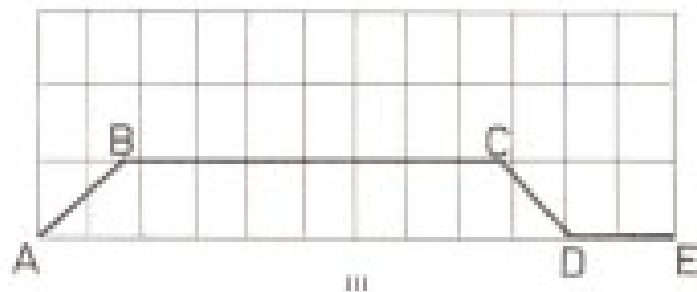


Fig. 3.93

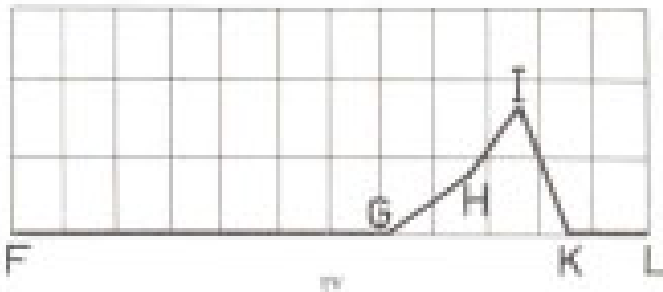
#### III. stellt das Drehwerkzeug dar.

Es geht in Arbeitstellung vor von A—B und beginnt die Drehoperation ähnlich dem bereits unter Fig. 3.81 bekannten Beispiel.



#### IV. Stellt den Formstahl dar, der den halbkreisförmigen Einstich dreht.

Er rückt zuerst an den Außendurchmesser  $D_1$  vor und bewegt sich mit gleichförmigem Vorschub bis auf die vorgeschriebene Tiefe.



#### V. Stellt das Abstechwerkzeug dar.

Es geht von N—O in die Arbeitstellung vor, beginnt beim Durchmesser  $D_2$  und schiebt sich mit gleichförmiger Vorschubgeschwindigkeit bis etwas wenig mehr über die Werkstückachse vor. Die Operationen der Werkzeuge IV und V sind in der Bildfolge Fig. 3.95, a—i, dargestellt.

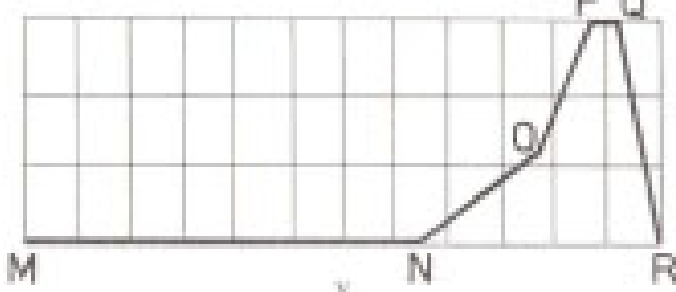


Fig. 3.94

Im Bewegungsplan sind die Vorschübe für ein Hebelverhältnis von 1:3 bereits berücksichtigt.

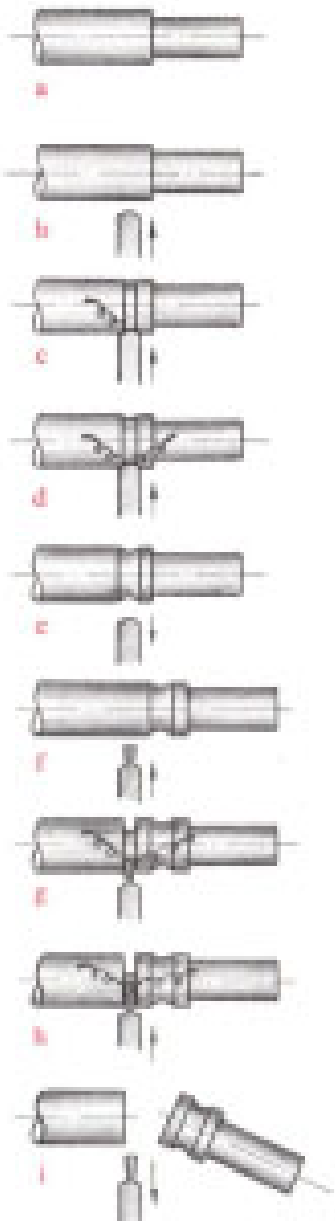


Fig. 3.96

Fig. 3.96 zeigt das angenderte Modell eines Drehautomaten mit beweglichem Spindelstock. Es weist fünf Werkzeuge auf, die radial zur Werkstückachse angeordnet sind und die durch fünf Schiebenkurven gesteuert werden. Der Spindelstock wird durch die am linken Ende der Kurvenwelle gut sichtbare Glockenkurve gesteuert.

Außerdem weist dieses Modell einen Dreispindelapparat auf für das Ansenken, Bohren, Außenrufen oder Gewindestreifen. Die schwingende Bewegung dieses Apparates zur Ausrichtung mit der Werkstückachse wird durch die Kurve am äußersten Ende rechts der Kurvenwelle gesteuert. Diese Kurve weist drei konzentrische Kreisbögen und zwei Vorschubbewegungen auf. Auf der Abbildung ist die mittlere Spindel auf die Werkstückachse ausgerichtet. Der Vorschub der drei Werkzeuge an diesem Apparat erfolgt durch den gut sichtbaren, gebogenen Schalthebel. Hinter dem geschlitzten Teil dieses Hebels befindet sich die Schaltkurve, deren drei Nocken die horizontale Vorschubbewegung der drei Werkzeugspindeln steuern.

Die Antriebskurbel rechts unten wandelt eine einfache Drehbewegung in 15 verschiedene Bewegungen um, d. h.:

- 5 Radialwerkzeuge I—V
- 3 Stellungswechsel des Apparates
- 3 Vorschubbewegungen der Werkzeuge am Apparat
- 1 Vorschubbewegung des Spindelstocks
- 1 Antriebsbewegung des Spindelstocks
- 1 Antriebsbewegung des Apparates
- 1 Antriebsbewegung der Kurvenwelle

Sämtliche Wellen laufen auf Kugellagern. Dieses Modell besteht aus 1570 Bestandteilen und kann mit Baustäben 33 oder 1500 gebaut werden, nebst einer Packung besonderer Bestandteile.

Dimensionen des Modells: Länge 300mm, Breite 300mm, Höhe 340 mm.

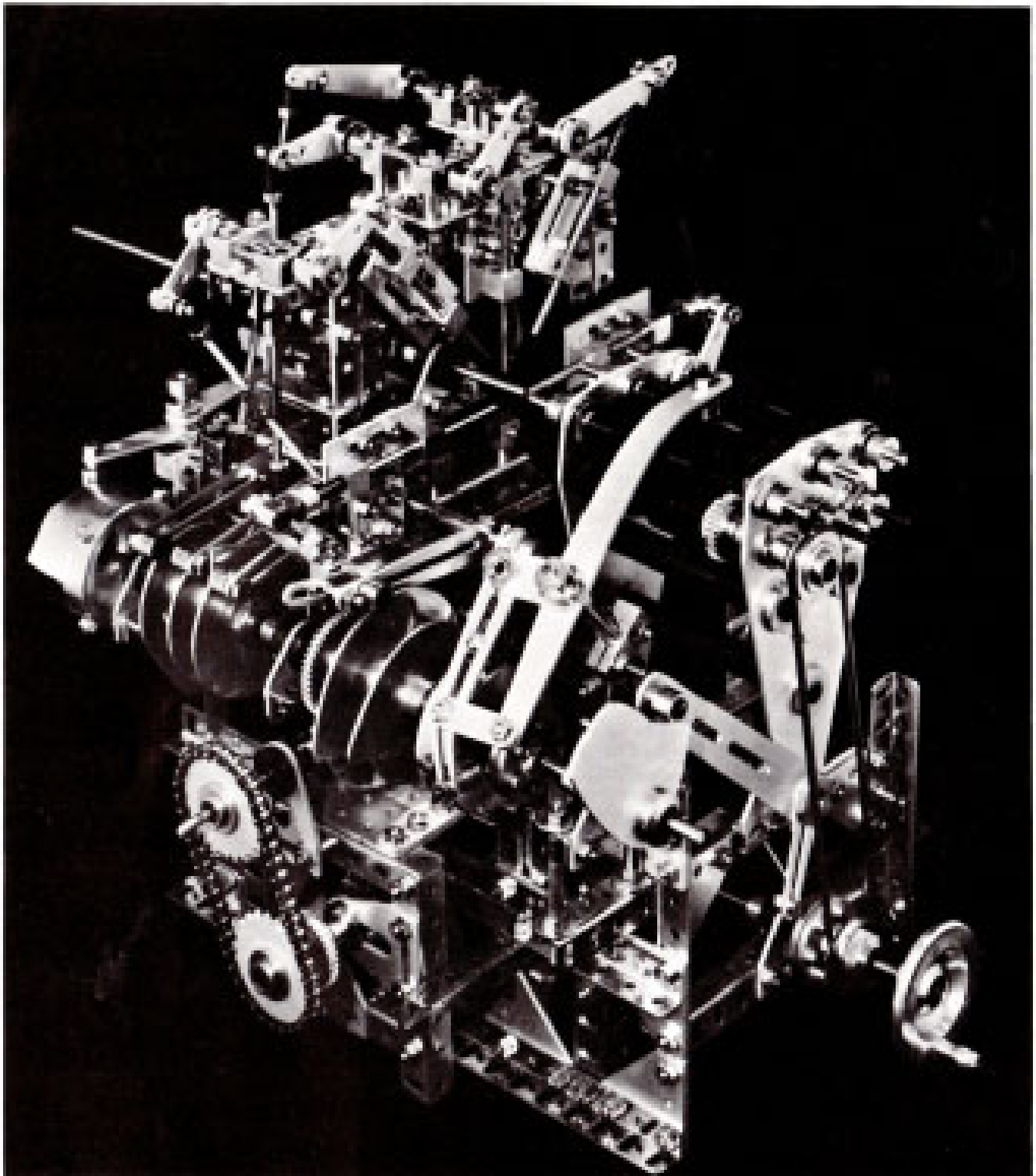


Fig. 2.86

## Anwendungen von Kurven- und Kurbelgetrieben in der Praxis

Im Anschluß an die prinzipiellen Erklärungen über Kurven- und Kurbelgetriebe, deren Arbeitsweise wir nun kennen, versuchen wir den Bau eines Mechanismus einer Druckereimühle, laut Fig. 3.97.

Die Aufgabe dieses Mechanismus besteht darin, in einem bestimmten Rhythmus ein Stück Papier von einer Stelle an eine andere Stelle zu befördern. Das Papier wird durch Saugluft an das Saugmundstück herangezogen und, sobald es haftet, emporgehoben und eine kleine Wegstrecke davon entfernt wieder abgelegt, dadurch, daß die Saugluft unterbrochen wird.

Jedes Blatt Papier, das fortgehoben wird, verringert die Höhe des Stapels. Das Papier wird durch einen Sperrzirkel allmählich hochgeschoben, wodurch die obere Lage immer in der für das Funktionieren des Saugmundstückes richtigen Höhe ist. Dieser zusätzliche Mechanismus ist auf dem Bild nicht gezeigt.

Die Funktion des Hebel in Fig. 3.97 besteht darin, die Koppelkurven zur Bewegung des Saugmundstückes zu erzeugen (siehe Abschnitt «Koppelkurven»).

Wir haben also grundsätzlich folgende Bewegungen zu beachten:

1. Der zeitliche Ablauf und der Hub wird durch die Kurvenscheiben bestimmt.
2. Die Hebel und Verbindungsstangen übertragen diese Bewegungen in einem vorgeschriebenen Hebelverhältnis.

Mit den bereits erworbenen Kenntnissen der Kurvengetriebe und Hebel und den AUTOMAT-Baustücken werden Sie diesem Mechanismus bauen können.

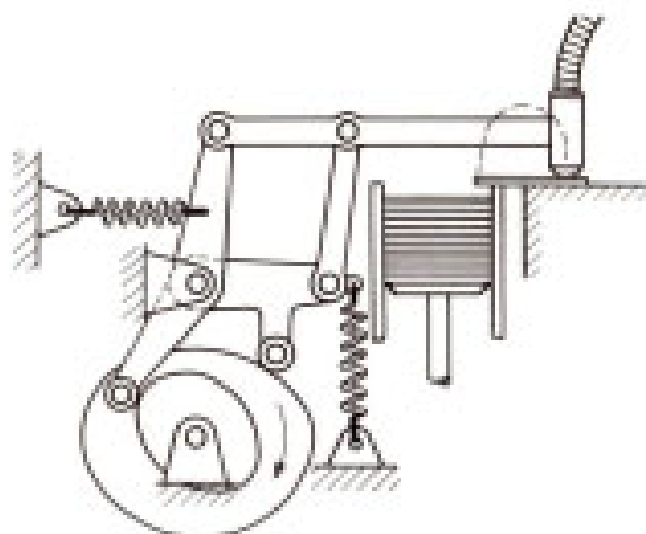


Fig. 3.97

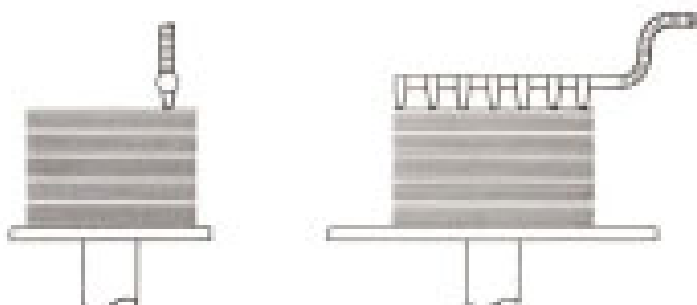


Fig. 3.98

## Hubänderung bei Kurvengetrieben

Im Abschnitt zu Fig. 3.85 und 3.86 haben wir erfahren, daß Hebel bei Kurvengetrieben auch deshalb angewendet werden, um Ungenauigkeiten in der Herstellung der Kurvenscheiben zu reduzieren und um gegebenenfalls den Vorschub je nach Bedarf veränderlich zu gestalten.

Bilder 3.99 und 3.100 zeigen zwei weitere Varianten zur Verstellung des Hubes bei Kurvengetrieben.

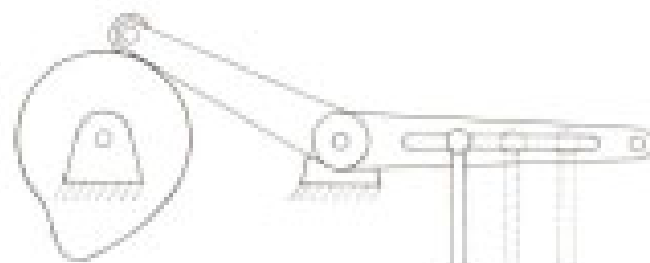


Fig. 3.99

Im Bild 3.99 ist die Länge des Schwinghebels unveränderlich, während der Hub des Antriebes durch Verstellen nach Wunsch geändert werden kann. Als Experiment verwendet man eine bestehende Kurve und ermittelt das Zeit-Weg-Diagramm bei verschiedenen Einstellungen des Antriebes, was durch Verstellen des Kurbelzapfens erreicht wird.

Bild 3.100 zeigt eine prinzipiell andere Anordnung zur Änderung des Hubes. Während die Länge des Hebelarms des Antriebes gleich bleibt, wird durch Verschiebung des Lagerbockes das Verhältnis zur Kurvenscheibe geändert.

Eine interessante und freiwillige Aufgabe besteht darin, mittels Versuchen die Veränderung der Bewegungsgesetze festzustellen. Man beginne damit, indem man einen Doppel-Hebel aus zwei Hebeln von je 75 mm Länge zusammenmontiert. Man fertigt zusaätzlich eine beliebige Kurvenscheibe an, oder verwendet eine solche aus bisherigen Versuchen. Der Lagerbock wird an einer ersten Stelle befestigt. Um die Versuche zu erleichtern, kann der Lagerbock wie aus Fig. 3.101 ersichtlich, mittels einer Stellschraube verschiebbar angeordnet werden. Eine Skala und ein Zeiger werden befestigt, um die Positionen und die daraus abgeleiteten Werte genau festhalten zu können. Man beginne den Versuch, wenn der Lagerbock so eingestellt ist, daß der Hebelarm mit der Kurvenscheibe wie bei den bisherigen Beispielen abschlägt und Kreishögen wie in Fig. 3.35 beschreibt.

Die einzelnen Bewegungen werden auf einem Zeit-Weg-Diagramm eingetragen.

Um die Zeitabstände und den veränderlichen Hub genau erfassen zu können, werden am besten am Mechanismus eine Skala und ein Zeiger befestigt. Das Zeit-Weg-Diagramm wird in zwölf Teile eingeteilt, die je  $30^\circ$  darstellen. Der Hub wird an einer senkrechten Skala abgelesen. Die Geschwindigkeiten und Beschleunigungen lassen sich auf Grund des Zeit-Weg-Diagrammes ermitteln.

Nachdem dies geschehen ist, verschiebe man den Lagerbock um einen Teilstrich der Skala. Am besten sind Teilstriche in 5 mm Abständen. Man erstellt aus dem Zeit-Weg-Diagramm auch für diesen Fall, und zwar am besten mit anderer Farbe auf dem gleichen Diagramm, und wiederholt das Vorgehen für zwei bis drei weitere Teilstriche. Es entstehen mit der gleichen Kurvenscheibe vollständig verschiedene Kurven des Zeit-Weg-Diagrammes.

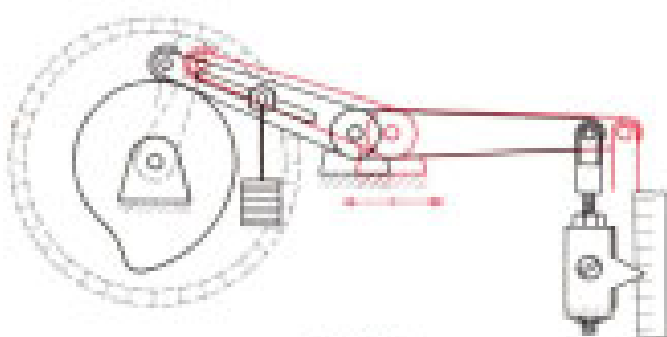


Fig. 3.99

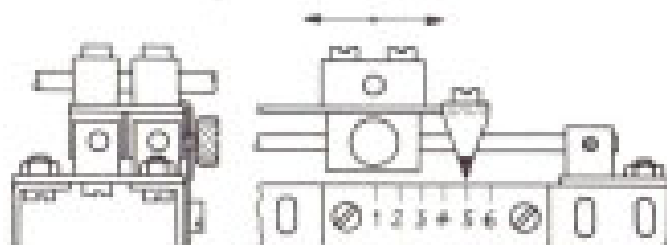


Fig. 3.101

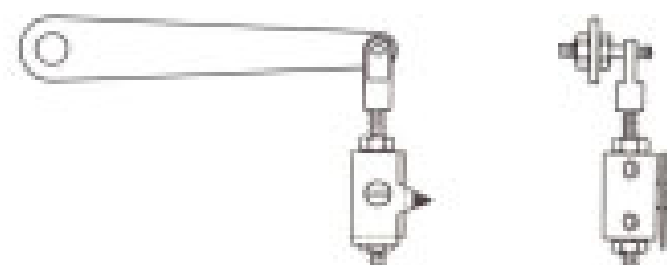


Fig. 3.102

## Ausbildung von Kurvenscheiben für Verarbeitungs-maschinen

Von Dr. Ing. H. Brandenberger, Zürich

Kurven an Verarbeitungsmaschinen zu ermitteln ist eine wichtige Aufgabe, da doch die Leistung einer Maschine von der Güte der Kurvenscheiben abhängig ist. Leider finden wir nicht nur in der Literatur, sondern auch bei den ausführenden Firmen die Methode, die Kurvenscheiben der Werkstätte in Form von vorgezeichneten durch Punkte festgelegte Kurven anzugeben. Dies kommt daher, weil man bisher die Mittelpunktskurven der Rollen punktweise ermittelt und die Kurven der Scheiben als Aquidistante dazu festlegt. Die Kurven müssen deswegen genau ermittelt werden, weil die durch sie zu erzeugenden Beschleunigungen die Federkräfte, mit denen die Rollenhebel an die Kurven angedrückt werden, bestimmen. Da die Beschleunigungen jedoch von den Krümmungen der Bahnen abhängig sind, werden vorteilhaft die punktweise ermittelten Mittelpunktskurven der Rollen durch Krümmungskreise angenähert ersetzt, so daß auch die Kurven der Scheiben leicht als Kurven gleicher Evolute mit Angabe der Krümmungen der Werkstücke vorgeschrieben werden können. Dies erfordert allerdings die Beherrschung der graphischen Kinematik, um nachträglich aus gegebenen Krümmungsverhältnissen die Bahnbeschleunigungen der Rollen ermitteln zu können. Die anzuwendenden Ermittlungsverfahren der Kurven und die graphischen Methoden zur Bestimmung der Beschleunigungen werden aufgezeigt.

Die Aufgabe einer Kurvenscheibe soll darin bestehen, ein Organ während einer vorgegebenen Zeit einen bestimmten Weg zurücklegen zu lassen. Wir wollen also nur das Problem behandeln, wo am Anfang und am Ende der Bewegung das Organ sich jedesmal wieder in Ruhelage befindet. Dabei soll diese Stellungänderung durch eine offene Kurve erzeugt werden, so daß von der Kurvenscheibe nur in einer Richtung eine Kraft ausgeübt werden kann, während in der anderen Richtung der Kraftaushalt durch eine Feder erzeugt werden muß. Die kleinste maximale Beschleunigung bzw. Verzögerungsbeschleunigung wird dann auftreten, wenn diese jeweils einen konstanten Wert aufweist. Die Ermittlung der maximal auftretenden Beschleunigung ist deswegen wichtig, weil durch sie die Feder bestimmt wird, die das Abheben der auf der Kurvenscheibe ablaufenden Rolle zu verhindern hat.

Die bei gegebenen Verhältnissen auftretende maximale Beschleunigung kann zunächst rechnerisch erfaßt werden. Es soll z. B. (Fig. 3.104) der Rollenmittelpunkt A auf einem Hebel um M bei einem Weg von M um O von 48 mm in 0,06 Sekunden eine Strecke von 25 mm zurücklegen. Somit ist der halbe Weg von  $s = 12,5$  mm in  $t = 0,03$  Sekunden auszuführen. Bei jeweils gleichförmig beschleunigter Bewegung ergeben sich im Weg-Zeit-Diagramm zwei Parabelbögen (Fig. 3.104).

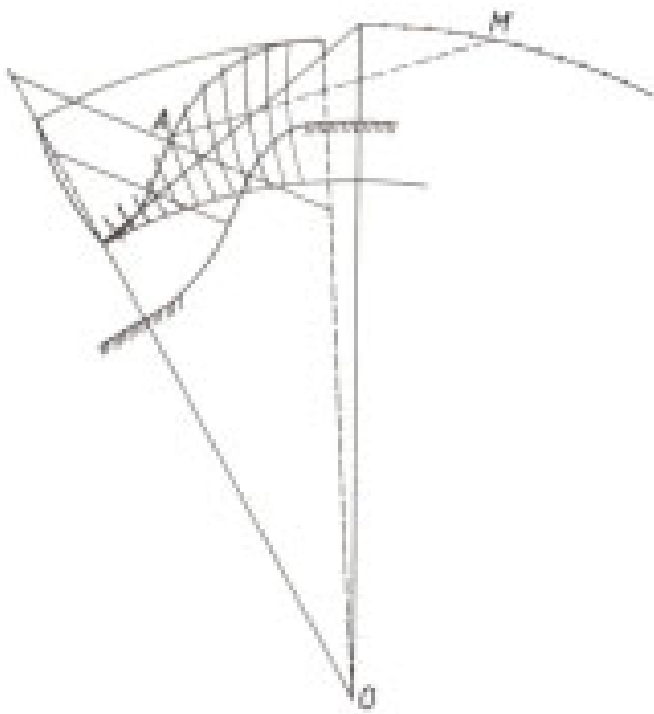


Fig. 3.104

Es ist  $s = \frac{b}{2} \cdot t^2$  und die konstante Beschleunigung

$$b = \frac{2s}{t^2} = \frac{2 \cdot 0,0123}{0,03^2} = 27,8 \text{ m/s}^2$$

Die dabei erreichte maximale Geschwindigkeit

$$v = b \cdot t = 27,8 \cdot 0,03 = 0,834 \text{ m/s}$$

Durch Übertragen des Weg-Zeit-Diagramms auf die Verhältnisse der Kurvenscheibe ergibt sich (Bild 1) zunächst die Mittelpunktslinie des Rollenmittels A und dann als Aquidistante im Abstand des Rollenhalbmeßers die Form der Kurvenscheibe.

Die punktweise Ermittlung der Rollenmittelpunktskurve erlaubt auch nur eine punktweise Festlegung der Form der Kurvenscheibe. Für die Einhaltung einer bestimmten Beschleunigung ist jedoch die Krümmung der Bahn maßgebend, so daß man auch der Werkstätte die Form der Kurvenscheibe nicht durch punktweise Kotierung angeben soll, sondern durch Vorschreiben der Krümmungsradien der Kurven. Der Vorteil liegt weiter noch darin, daß die einzelnen Kurvensabschnitte mit Hilfe eines Rundschässes auf genaue Form gefürt werden können, oder zumindest, daß man die Kurvenscheibe während der Fabrikation mittels Radiuslehren kontrollieren und dann nacharbeiten kann.

Im allgemeinen wird es genügen, wenn man die zeichnerisch möglichst genau ermittelte Form der Kurve durch Kreisbögen ersetzt und die Mittelpunkte und Radien durch Maßzahlen festlegt. Um die dabei auftretenden Abweichungen von den errechneten Beschleunigungen nicht als Fehler in Kauf nehmen zu müssen, kann man an den Übergangsstellen von zwei Kreisbögen mit verschiedenen Radien mit Hilfe der Kinematik die nun wirklich auftretenden Beschleunigungen graphisch ermitteln. Im vorliegenden Fall soll ein anderer Weg beschritten werden. Für die Stelle des Überganges von der gleichförmig beschleunigten Bewegung in die gleichförmig verzögerte Bewegung (Stelle A der Rolle in Bild 1) soll für die errechneten Geschwindigkeits- und Beschleunigungsverhältnisse des Rollenmittels der Krümmungsradius der Bahn des Punktes A ermittelt werden, und zwar für den Teil der Kurvenscheibe, dessen Zentrum durch die Feder aufgebracht werden muß. Dabei soll angenommen werden, daß der Mittelpunkt des Hebels M still steht und sich die Kurvenscheibe in Richtung A I (Fig. 3.106) um Odrehe. Die Größe dieser Geschwindigkeit errechnet sich aus dem Weg von M um O von 48 mm und dem Verhältnis von

$$\frac{OA}{OM} = \frac{105}{120} \approx \frac{48}{120} = 42 \text{ mm}$$

Es sind dabei folgende Bewegungen zu unterscheiden:

1. Die Absolutbewegung des Rollenmittels A um den festen Punkt M, als Kreisbahn,
2. Die Führungsbewegung des mit A zusammenfallenden Punktes der Kurvenscheibe als Kreisbahn des Punktes A um den festen Punkt O, und
3. die Relativbewegung des Rollenmittelpunktes A auf der Kurvenscheibe längs einer Bahn, dessen Krümmungsmittelpunkt aufzusuchen ist.

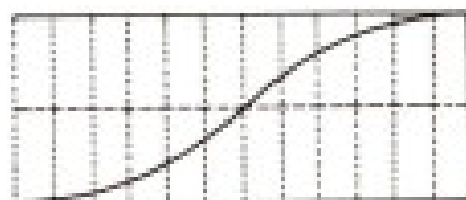


Fig. 3.106

Die Absolutgeschwindigkeit des Rollenmittelpunktes A als Bewegung um den Punkt M haben wir rechnerisch bereits mit

$$v_A = 0,834 \text{ m/s}$$

ermittelt. Führen wir in (Fig. 3.105) einen Geschwindigkeitsmaßstab  $v = 1:25$  ein, so ergibt sich die Geschwindigkeit des Punktes A.

$$v_A = \frac{834}{25} = 33,3 \text{ mm} = A2$$

Die Tangentialbeschleunigung der Absolutbewegung des Punktes A bei seiner Bewegung um M wurde berechnet mit

$$b_A^{\text{tang}} = 27,8 \text{ m/s}^2$$

Entsprechend dem Geschwindigkeitsmaßstab 1:25 ergibt sich der Beschleunigungsmaßstab zu  $1:25^2 = 1:625$ , so daß

$$b_A^{\text{tang}} = \frac{27300}{625} = 44,5 \text{ mm} = A4$$

ist. (Die Richtung A4 zeigt deswegen zu Punkt O, weil die Hebelänge MA für die Mittelstellung so gewählt wurde, daß Winkel MAO gleich  $90^\circ$  ist.)

Die Führungsgeschwindigkeit des Punktes A um O ergibt sich entsprechend dem Weg 42 mm, wie berechnet, für A um O während der Zeit von 0,06 Sekunden zu

$$v_{A/P0} = \frac{0,042}{0,06} = 0,7 \text{ m/s}$$

und im Maßstab 1:25 dargestellt, wird

$$v_{A/P0} = 28 \text{ mm} = A1$$

Zwischen der Absolutbewegung des Rollenmittelpunktes A um M ( $v_A$ ), der Führungsbewegung des mit A zusammenfallenden Punktes der Kurvenscheibe ( $v_{A/P0}$ ) und der Relativgeschwindigkeit des Punktes A auf der Kurvenscheibe  $v_{A/R0}$  besteht die allgemeine vektorielle Beziehung

$$v_A = v_{A/P0} + v_{A/R0} \dots \dots \dots (1)$$

daraus ergibt sich

$$v_{A/R0} = v_A - v_{A/P0} \dots \dots \dots (1')$$

Wegen  $v_A = A2$  und  $v_{A/P0} = A1$  wird

$$v_{A/R0} = A2 - A1 = A2 + 1A = A2 + 23 = A3$$

da  $23 = 1A$  gemacht wurde.

Die Richtung A3 stellt somit die Tangente an die Relativbahn des Rollenmittelpunktes A auf der Kurvenscheibe dar.

Zur Ermittlung des Krümmungsmittelpunktes der Kurve, welche der Rollenmittelpunkt auf der Kurvenscheibe beschreibt, ist die Beschleunigung der Relativbewegung des Punktes A gegen das System der Kurvenscheibe zu ermitteln.

Allgemein besteht die Gleichung (siehe Coriolisbeschleunigung Abschnitt 9, Fig. 9.9''' bis 9.11'''')

$$b_A = b_{A/P0} + b_{A/R0} + b_{Cor} \dots \dots \dots (2)$$

woraus sich ergibt

$$b_{A/R0} = b_A - b_{A/P0} - b_{Cor} \dots \dots \dots (2')$$

Die Beschleunigung der Absolutbewegung des Rollenmittelpunktes A während seiner Bewegung um M setzt sich aus seiner Normal- und Tangentialbeschleunigung zusammen.

Es ist

$$b_A = b_A^{\text{norm}} + b_A^{\text{tang}}$$

$b_A^{\text{norm}}$  kennen wir aus der Rechnung:

$$b_A^{\text{norm}} = \frac{v_A^2}{MA} = v_A \frac{v_A}{MA} = A2 \frac{A2}{MA} = 26 = 49$$

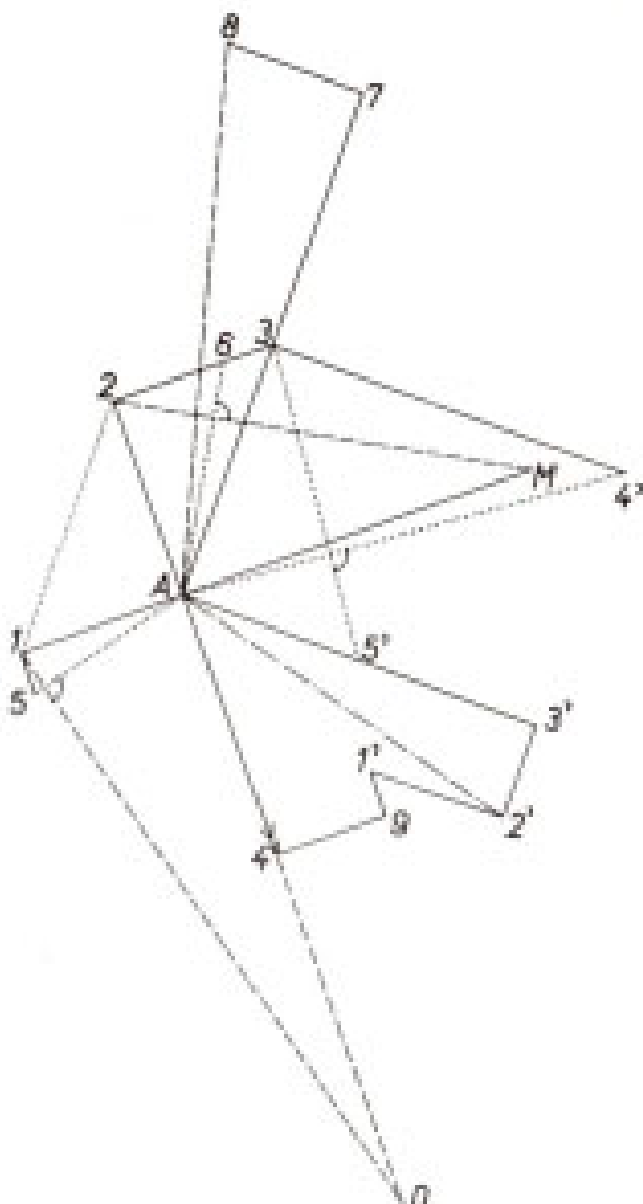


Fig. 3.105

Es ist somit

$$b_A = b_{A,\text{rel}} + b_{A,\text{rot}} = A \cdot 4 + 49 = A 9$$

Die Beschleunigung der Führungsbewegung, d. h. des mit A zusammenfallenden Punktes des Systems der Kurvenscheibe  $b_{A,\text{rel}}$  setzt sich zusammen aus einem tangentialen und einem normalen Teil. Wegen der gleichförmigen Bewegung der Kurvenscheibe ist

$$b_{A,\text{rel}}^{\text{normal}} = 0$$

und

$$b_{A,\text{rot}}^{\text{normal}} = \frac{v_{A,\text{rel}}^2 r_2}{OA} = A \cdot 1 \cdot \frac{A \cdot 1}{OA} = 15 = 15^\circ$$

Die Coriolisbeschleunigung bzw. gleich zweimal der Relativgeschwindigkeit multipliziert mit der Winkelgeschwindigkeit der Führungsbewegung, ergibt sich zu

$$b_{\text{cor}} = 2 \cdot v_{A,\text{rel}} \cdot w_R = 2 A \cdot 1 \cdot \frac{A \cdot 1}{OA} = 28 = 28^\circ$$

Entsprechend der Gleichung (2) erhält man:

$$b_{A,\text{rel}} = A Z$$

Diese Gesamtbeschleunigung der Relativbewegung des Punktes A auf der Kurvenscheibe kann zerlegt werden in einen normalen und einen tangentialen Teil, beziehlich seiner Bahnkurve mit der tangentialen Richtung A Z. Es ist

$$b_{A,\text{rel}} = A Z + Y 2^\circ$$

wobei

$$A Z = b_{A,\text{rel}}^{\text{tangential}} = 28^\circ$$

Aus der allgemeinen Gleichung

$$\frac{v_{A,\text{rel}}^2 r_2}{OA} = \frac{v_{A,\text{rel}}^2 r_2}{r}$$

erhält man den Krümmungsradius der Relativbahn des Rollenmittelpunktes A auf der Kurvenscheibe:

$$r = \frac{v_{A,\text{rel}}^2}{b_{A,\text{rel}}^{\text{tangential}}} = A \cdot 1 \cdot \frac{A \cdot 1}{34^\circ} = 5' A$$

mit S als den Krümmungsmittelpunkt für die Bahn des Rollenmittelpunktes A auf der Kurvenscheibe, der zu suchen war.

Es besteht aus die Möglichkeit für jeden anderen Punkt der Bahn von A den Krümmungsmittelpunkt auf gleiche Art zu bestimmen. Begründet man sich nicht für die Stelle A mit dem Krümmungsmittelpunkt der Bahn des Punktes A auf der Kurvenscheibe, sondern möchte für die angenommene Bewegung der konstanten Beschleunigung oder für ein anderes Beschleunigungsgegesetz auch noch die Krümmung der Evolute der Bahnkurve ermitteln, so kann man dies unter Heranziehung der höheren Beschleunigungen. Wird die erste Beschleunigung der Tangentialbewegung des Punktes A um M als konstant angenommen, so erhalten sich die höheren tangentialen Beschleunigungen des Punktes A und M alle zu null.

Die allgemeine Gleichung

$$b_A = b_{A,\text{rel}} + b_{A,\text{rot}} + b_{\text{cor}}$$

gilt auch für die höheren Beschleunigungen.

Zwischen der Beschleunigung eines Punktes und den Krümmungsradien der Bahn des Punktes und der ihrer Evolute, sowie den Winkelgeschwindigkeiten und Winkelbeschleunigungen der Bahnnormalen<sup>1)</sup> bestehen folgende Beziehungsgleichungen:

$$\begin{aligned} v &= r_1 \omega \\ b &= r_1 k + \omega^2 (r_1 - r_2) \\ b' &= r_1 k' + 3\omega k (r_1 - r_2) + \omega^2 (r_1 - 2r_2 + r_3) \\ b'' &= r_1 k'' + 4\omega k' (r_1 - r_2) + 3\omega^2 (r_1 - r_3) + \\ &\quad + 6\omega^2 (r_1 - 2r_2 + r_3) + \omega^3 (r_1 - 3r_2 + 3r_3 - r_4) \\ b''' &= r_1 k''' + 5(r_1 - r_2)\omega k' + 10(r_1 - r_2)\omega k' + \\ &\quad + 10(r_1 - 2r_2 + r_3)\omega^2 k' + \\ &\quad + 15(r_1 - 2r_2 + r_3)\omega^3 k' + \\ &\quad + 10(r_1 - 3r_2 + 3r_3 - r_4)\omega^2 k' + \\ &\quad + (r_1 - 4r_2 + 6r_3 - 4r_4 + r_5)\omega^3 \end{aligned}$$

Da sich die Rolle mit dem Mittelpunkt A-M-O um die feste Achse eines Hebels dreht (M), und die Kurvenscheibe ebenfalls eine Bewegung um eine feste Achse ausführt, sind die für Absolutbewegung des Punktes A und für seine Führungsbewegung die Radien  $r_1$ ,  $r_2$  usw. gleich null zu setzen, während für die Relativbewegung diese Werte zu ermitteln wären.

Für die höheren Beschleunigungen erhält man auch höhere Coriolisbeschleunigungen<sup>1)</sup>, wobei folgende Gleichungen zur Geltung kommen:

$$\begin{aligned} v_A &= w + v \\ b_A &= b_y + b_z + 2\omega v_x \\ b'_A &= b'_x + b'_y + 3\omega b_z + 3\omega v_x \\ b''_A &= b''_x + b''_y + 4\omega b'_z + 6b_z + 4v_x k' \end{aligned}$$

Fährt die Kurvenscheibe, wie angenommen werden kann, eine gleichförmige Drehung aus, so sind die ersten und höheren Winkelbeschleunigungen gleich null zu setzen. Wie man allgemein aus der Geschwindigkeit der ersten und der höheren Beschleunigungen zu den Krümmungen der Bahn einer Kurve und ihrer ersten und höheren Evolventen kommt, ist ebenfalls in der angegebenen Abhandlung enthalten. Damit ist das gestellte Problem auch im Hinblick auf die Krümmungen der Evolventen gelöst.

<sup>1)</sup> Rauschberger, H.: Die graphischen Methoden der Bewegungslehre (Kinetik) II. Teil: Die höheren Beschleunigungen. Helvetica Physica Acta 3, 65-100.